E. Franck

Contexte physique et mathématique

Modèles réduits pour l'équation de

Génération des données

Réseaux de neurones

Résultats Modèle fluide

Vlasov

Difficultés : stabilité et

Fermeture et bases réduites

Bases réduites pour les équations hyperboliques Fermeture et contrôle ontimal

Stabilisation de schéma I BM

Schéma I BM

Stabilisation et contrôle optimal

Méthodes d'apprentissage pour les problèmes de fermeture et stabilisation en EDP

L. Bois^{1,2} M. Bestard^{1,2} E. Franck^{1,2} L. Navoret^{1,2} V. Vigon^{1,2}

¹ Institut de Recherche Mathématique Avancée, UMR 7501, Université de Strasbourg et CNRS, 7 rue René Descartes, 67000 Strasbourg. France

² INRIA Nancy-Grand Est, équie-projet TONUS, Strasbourg, France

Séminaire Math@HPC, École Polytechnique

Sommaire

E. Franck

Contexte physique et mathématique

Modèles réduits pour l'équation de Vlasov

Génération des données Réseaux de neurones

Résultats

Modèle fluide

Difficultés : stabilité et

Fermeture et bases réduites

Bases réduites pour les équations hyperboliques Fermeture et contrôle ontimal

Stabilisation de schéma I BM

Schéma LBM

Stabilisation et contrôle ontimal

1 Contexte physique et mathématique

2 Modèles réduits pour l'équation de Vlasov

Génération des données

Réseaux de neurones

Résultats

Modèle fluide

Difficultés : stabilité et coût calcul

Sermeture et bases réduites

Bases réduites pour les équations hyperboliques Fermeture et contrôle optimal

4 Stabilisation de schéma LBN

Schéma LBM

Stabilisation et contrôle optima

E. Franck

Contexte physique et mathématique

Modèles réduits

pour l'équation de Vlasov

Génération des données Réseaux de neurones

Résultats

Modèle fluide Difficultés : stabilité et

coût calcul

Fermeture et bases

réduites Bases réduites pour les

équations hyperboliques
Fermeture et contrôle

Stabilisation de schéma I BM

Schéma LBM

Stabilisation et contrôle

Problème de fermeture I

On considère une EDP du type :

$$\partial_t u(t, x_1, \dots, x_n) + \nabla_{x_1, \dots, x_n} f(u; x_1, \dots, x_n) = 0$$

- Afin de réduire le coût de calcul, on utilise des méthodes de réduction de dimension qui projettent sur une base de fonction dépendant d'une partie des variables.
- Deux formalismes : Galerkin ou méthodes aux moments.
- Méthode de Galerkin :
 - 1 on propose

 $u(t,x_1,\ldots,x_n)=u_N(t,x_1,\ldots,x_n)=\sum_1^N\alpha_i(t,x_1,\ldots,x_k)\phi(x_{k+1},\ldots,x_n)$ avec

$$\alpha_i = \int \phi_i(x_{k+1}, \dots, x_n) u(t, x_1, \dots, x_n) dx_{k+1}, \dots, dx_n$$

 $oldsymbol{2}$ on obtient un modèle réduit sur les $lpha_i$ en résolvant :

$$\min_{\substack{(\alpha_1,\ldots,\alpha_N)}} \|\partial_t u_N(t,x_1,\ldots,x_n) + \nabla_{x_1,\ldots,x_n} f(u_N;x_1,\ldots,x_n)\|^2$$

3 si le modèle est linéaire on obtient une équation linéaire :

$$\frac{d}{dt}\alpha(t, x_1, \dots, x_k) + \nabla_{x_1, \dots, x_k}(A\alpha(t, x_1, \dots, x_k)) = 0$$

où les matrices dépendront de la base obtenue et du modèle :

4 si le modèle est non-linéaire, on obtient une équation non-linéaire

$$\frac{d}{dt}\alpha(t, x_1, \dots, x_k) + P(\nabla_{x_1, \dots, x_n} f(u_N; x_1, \dots, x_n)) = 0,$$

avec P le projecteur sur la base.

5 Une fermeture est une fonction $\hat{f}(\alpha)$ qui approche $P(\nabla_{x_1,\ldots,x_n}f(u_N;x_1,\ldots,x_n))$.

E. Franck

et mathématique

Modèles réduits pour l'équation de Vlasov

Génération des données Réseaux de neurones

Réseaux de neurones Résultats

Modèle fluide

Difficultés : stabilité et

Fermeture et bases réduites

Bases réduites pour les équations hyperboliques Fermeture et contrôle optimal

Stabilisation de schéma I BM

Schéma LBM

Stabilisation et contrôle ontimal

Problème de fermeture II

Méthode aux moments :

 $oldsymbol{1}$ on se donne N moments :

$$\alpha_i = \langle \phi_i, u \rangle_{L^2} = \int \phi_i(x_{k+1}, ..., x_n) u(t, x_1, ..., x_n) dx_{k+1}, ..., dx_n$$

2 on écrit un modèle sur les moments :

$$\partial_t \int (v\phi_i(x_{k+1},...,x_n))dx_{k+1},..,dx_n + \int (v \cdot \nabla \phi_i(x_{k+1},...,x_n))dx_{k+1},..,dx_n = 0$$

$$\partial_t \boldsymbol{\alpha}(t) + \int (v \nabla_{x_1, \dots, x_n} \phi_i(x_{k+1}, \dots, x_n)) dx_{k+1}, \dots, dx_n = 0.$$

③ Comment obtenir le modèle? On choisit un ansatz de solution de la forme $v(\alpha_1,\ldots,\alpha_N,x_{k+1},\ldots,x_n)$. Ensuite, on incorpore cette distribution dans l'équation et on calcule les moments, ce qui donne le modèle fermé :

$$\partial_t \boldsymbol{\alpha} + \hat{f}(\nabla_{x_1, \dots, x_n}; \boldsymbol{\alpha}) = 0$$

4 Pour déterminer l'ansatz, on peut le construire par analyse asymptotique ou par un processus d'optimisation :

$$\min_{v} \eta(v), \quad \text{ sous contrainte } \langle \phi_i, v \rangle_{L^2} = \alpha_i, \forall 1 < i < N$$

6 La méthode de Galerkin et des moments coı̈ncident pour $\eta(v) = \frac{1}{2}v^2$ et des EDP linéaires.

E. Franck

Contexte physique et mathématique

Modèles réduits

pour l'équation de Vlasov

Réseaux de neurones

Résultats

Modèle fluide

Difficultés : stabilité et coût calcul

Fermeture et bases réduites

Bases réduites pour les équations hyperboliques Fermeture et contrôle ontimal

Stabilisation de schéma I BM

Schéma LBM

Stabilisation et contrôle ontimal

Sommaire

- Contexte physique et mathématique
- 2 Modèles réduits pour l'équation de Vlasov

Génération des données

Réseaux de neurones

Résultats

Modèle fluide

Difficultés : stabilité et coût calcul

Sermeture et bases réduites

Bases réduites pour les équations hyperboliques

Fermeture et contrôle optima

4 Stabilisation de schéma LBM

Schéma LBM

Stabilisation et contrôle optima

E. Franck

Contexte physique et mathématique

Modèles réduits pour l'équation de Vlasov

Génération des données

Réseaux de neurones Résultats

Modèle fluide

Difficultés : stabilité et

Fermeture et bases réduites

Bases réduites pour les équations hyperboliques Fermeture et contrôle optimal

Stabilisation de schéma I BM

Schéma LBM

Stabilisation et contrôle ontimal

Équation de Vlasov

• En physique des plasmas on résout l'équation de Vlasov-Poisson sur la distribution de particules f(t,x,v):

$$(V) \qquad \partial_t f + v \partial_x f + E(x) \partial_v = \frac{1}{\varepsilon} (M(\rho, u, T) - f),$$

avec M(
ho,u,T) la fonction Maxwellienne, arepsilon le nombre de Knudsen et E le champ électrique, donné par

$$(P)$$
 $E = -\partial_x \phi$, $\partial_{xx} \phi = \rho - \int \rho \, dx$.

- On utilise souvent des méthodes de réduction sur l'espace des vitesses afin de se ramener à un système spatial.
- On choisit comme moments $\left\{1,v,\frac{1}{2}v^2\right\}$, et on écrit l'équation sur les moments :

$$\begin{cases} \partial_t \rho + \partial_x (\rho u) = 0, \\ \partial_t (\rho u) + \partial_x (\rho u^2 + \rho T) = -E \rho, \\ \partial_t w + \partial_x (w u + \rho u T + q) = -E \rho u, \end{cases}$$

$$\begin{split} \text{avec } \rho &= \int_{\mathbb{R}} f dv, \, \rho u = \int_{\mathbb{R}} f v dv, \, w = \tfrac{1}{2} \rho u^2 + \tfrac{1}{2} p = \int_{\mathbb{R}} f \, \tfrac{v^2}{2} dv, \\ \text{et } p &= \rho T = \tfrac{1}{2} \int_{\mathbb{R}} f (u-v)^2 dv \text{ et } q = \tfrac{1}{2} \int_{\mathbb{R}} f (u-v)^3 dv. \end{split}$$

E. Franck

Contexte physique

et mathématique

Modèles réduits
pour l'équation de

Génération des données

Résultats Modèle fluide

Modele fluide

Difficultés : stabilité et coût calcul

Fermeture et bases réduites

Bases réduites pour les équations hyperboliques Fermeture et contrôle optimal

Stabilisation de schéma I BM

Schéma LBM Stabilisation et contrôle ontimal

Fermeture

Le flux de chaleur q, donné par

$$q(x,t) = \frac{1}{2} \int f(x,v,t)(v - u(x,t))^3 dv,$$

reste indéterminé. On a besoin d'une fermeture qui donne $q = \mathcal{C}(\rho, u, T)$ afin d'obtenir un système résolvable.

Stratégie classique : on choisit un ansatz.

1er cas
$$\ f(t,x,v)=M(\rho,u,T)$$
 est obtenu par l'asymptotique $\varepsilon=0$ ou par minimisation de l'entropie

$$\eta(f) = f ln f - f,$$

On obtient q = 0 et les équations d'Euler.

2ème cas
$$f(t,x,v)=M(\rho,u,T)+\varepsilon g(t,x,v)$$
 (obtenu par l'asymptotique $\varepsilon\to 0$). On obtient $q=-\frac{3}{6}\,p\partial_x T$ et les équations de Navier-Stokes.

3ème cas fermeture non locale en espace pour des configurations particulières.

- Idée : proposer une fermeture en utilisant l'apprentissage profond et des simulations cinétiques.
- Régime et validité des fermetures (papier de M. Torrilhon et al.) :



E. Franck

Contexte physique et mathématique

Modèles réduits pour l'équation de Vlasov

Génération des données

Réseaux de neurones

Résultats

Modèle fluide

Difficultés : stabilité et coût calcul

Fermeture et bases réduites

Bases réduites pour les équations hyperboliques Fermeture et contrôle ontimal

Stabilisation de schéma I BM

Schéma I BM

Stabilisation et contrôle optimal

Fermeture basée sur les données

Deux phases de calcul :

E. Franck

Contexte physique et mathématique

Modèles réduits pour l'équation de Vlasov

Génération des données Réseaux de neurones

Résultats

Modèle fluide Difficultés : stabilité et coût calcul

Fermeture et bases réduites

Bases réduites pour les équations hyperboliques Fermeture et contrôle ontimal

Stabilisation de schéma I BM

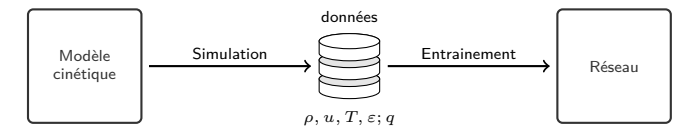
Schéma LBM

Stabilisation et contrôle ontimal

Fermeture basée sur les données

Deux phases de calcul :

Phase hors-ligne



E. Franck

Contexte physique et mathématique

Modèles réduits pour l'équation de Vlasov

Génération des données Réseaux de neurones

Résultats

Modèle fluide Difficultés : stabilité et coût calcul

Fermeture et bases

réduites Bases réduites pour les

équations hyperboliques Fermeture et contrôle optimal

Stabilisation de schéma I BM

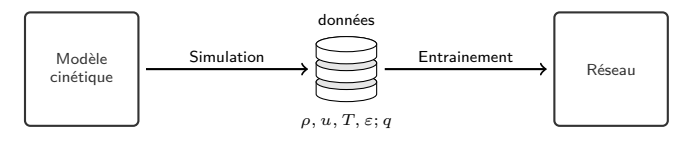
Schéma LBM

Stabilisation et contrôle ontimal

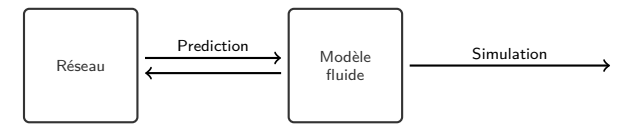
Fermeture basée sur les données

• Deux phases de calcul :

Phase hors-ligne



Phase en ligne



E. Franck

Contexte physique et mathématique

Modèles réduits pour l'équation de Vlasov

Génération des données

Réseaux de neurones

Résultats

Modèle fluide

Difficultés : stabilité et coût calcul

Fermeture et bases réduites

Bases réduites pour les équations hyperboliques Fermeture et contrôle ontimal

Stabilisation de schéma I BM

Schéma LBM

Stabilisation et contrôle ontimal

Sommaire

- Contexte physique et mathématique
- 2 Modèles réduits pour l'équation de Vlasov Génération des données

Réseaux de neurones

Résultats

Modèle fluide

Difficultés : stabilité et coût calcu

- 3 Fermeture et bases réduites
 - Bases réduites pour les équations hyperboliques
 - Fermeture et contrôle optima
- 4 Stabilisation de schéma LBM

Schéma LBM

Stabilisation et contrôle optimal

E. Franck

Contexte physique et mathématique

Modèles réduits pour l'équation de Vlasov

Génération des données

Réseaux de neurones

Résultats Modèle fluide

Difficultés : stabilité et

Fermeture et bases réduites

Bases réduites pour les équations hyperboliques Fermeture et contrôle ontimal

Stabilisation de schéma I BM

Schéma LBM

Stabilisation et contrôle ontimal

Génération des données

• On considère une fermeture globale : $\hat{q}(\rho(.),u(.),T(.),\varepsilon)$

Les données sont calculées avec le modèle cinétique

kinetic model

E. Franck

Contexte physique et mathématique

Modèles réduits pour l'équation de Vlasov

Génération des données

Réseaux de neurones

Résultats

Modèle fluide

Difficultés : stabilité et coût calcul

Fermeture et bases réduites

Bases réduites pour les équations hyperboliques Fermeture et contrôle optimal

Stabilisation de schéma I BM

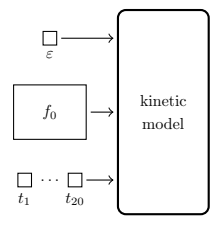
Schéma LBM

Stabilisation et contrôle optimal

Génération des données

• On considère une fermeture globale : $\hat{q}(\rho(.),u(.),T(.),\varepsilon)$

On prend un nombre de Knudsen arepsilon, une condition initiale f_0 , et 20 temps t_1 , ..., t_{20} .



E. Franck

Contexte physique et mathématique

Modèles réduits pour l'équation de Vlasov

Génération des données

Réseaux de neurones

Résultats

Modèle fluide

Difficultés : stabilité et coût calcul

Fermeture et bases réduites

Bases réduites pour les équations hyperboliques Fermeture et contrôle ontimal

Stabilisation de schéma I BM

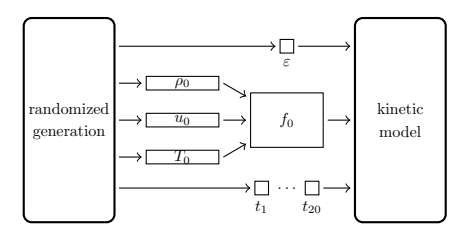
Schéma LBM

Stabilisation et contrôle ontimal

Génération des données

• On considère une fermeture globale : $\hat{q}(\rho(.),u(.),T(.),arepsilon)$

Les quantités sont générés aléatoirement. En particulier, $\varepsilon \in [0.01,1].$



E. Franck

Contexte physique et mathématique

Modèles réduits pour l'équation de Vlasov

Génération des données

Réseaux de neurones

Résultats

Modèle fluide

Difficultés : stabilité et coût calcul

Fermeture et bases réduites

Bases réduites pour les équations hyperboliques Fermeture et contrôle optimal

Stabilisation de schéma I BM

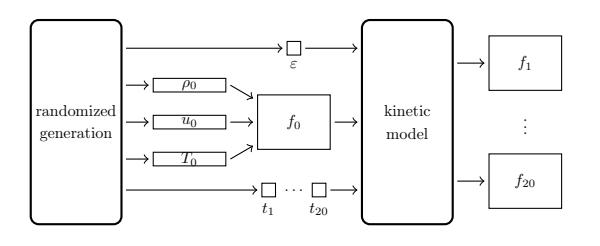
Schéma LBM

Stabilisation et contrôle optimal

Génération des données

• On considère une fermeture globale : $\hat{q}(\rho(.),u(.),T(.),\varepsilon)$

Le modèle donne $f_1,\,\ldots,\,f_{20}$ aux temps $t_1,\,\ldots,\,t_{20}$ respectivement.



E. Franck

Contexte physique et mathématique

Modèles réduits pour l'équation de Vlasov

Génération des données Réseaux de neurones

Résultats

Modèle fluide

Difficultés : stabilité et coût calcul

Fermeture et bases réduites

Bases réduites pour les équations hyperboliques Fermeture et contrôle optimal

Stabilisation de schéma I BM

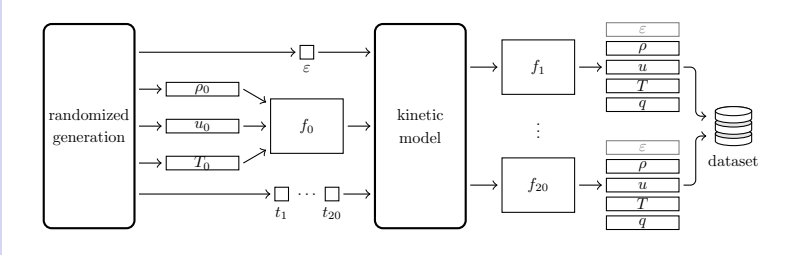
Schéma LBM

Stabilisation et contrôle ontimal

Génération des données

• On considère une fermeture globale : $\hat{q}(\rho(.),u(.),T(.),arepsilon)$

Finalement les fonctions ρ , u, T et q sont calculées et stockées avec ε .



E. Franck

Contexte physique et mathématique

Modèles réduits pour l'équation de Vlasov

Génération des données Réseaux de neurones

Résultats

Modèle fluide

Difficultés : stabilité et

Fermeture et bases réduites

Bases réduites pour les équations hyperboliques Fermeture et contrôle optimal

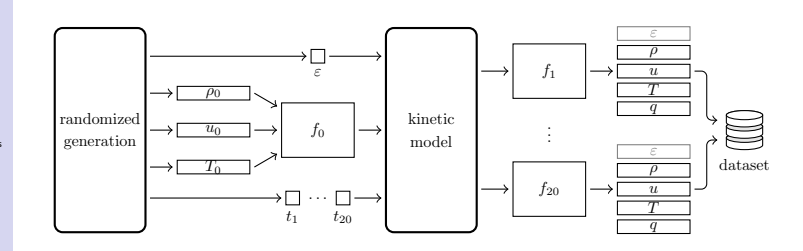
Stabilisation de schéma I BM

Schéma LBM

Stabilisation et contrôle ontimal

Génération des données

• On considère une fermeture globale : $\hat{q}(\rho(.),u(.),T(.),\varepsilon)$



Deux jeux de données ($500 \times 20 = 10000$) sont générés : un pour l'entrainement, et un pour la validation.

E. Franck

Contexte physique et mathématique

Modèles réduits pour l'équation de Vlasov

Génération des données Réseaux de neurones

Résultats

Modèle fluide

Difficultés : stabilité et coût calcul

Fermeture et bases réduites

Bases réduites pour les équations hyperboliques Fermeture et contrôle optimal

Stabilisation de schéma I BM

Schéma LBM

Stabilisation et contrôle ontimal

Sommaire

- Contexte physique et mathématique
- 2 Modèles réduits pour l'équation de Vlasov

Génération des données

Réseaux de neurones

Résultats Modèle fluide

Difficultés : stabilité et coût calcul

- 3 Fermeture et bases réduites
 - Bases réduites pour les équations hyperboliques Fermeture et contrôle optimal
- 4 Stabilisation de schéma LBM Schéma LBM Stabilisation et contrôle ont

E. Franck

Contexte physique et mathématique

Modèles réduits pour l'équation de Vlasov

Génération des données Réseaux de neurones

Résultats

Modèle fluide

Difficultés : stabilité et

Fermeture et bases réduites

Bases réduites pour les équations hyperboliques Fermeture et contrôle ontimal

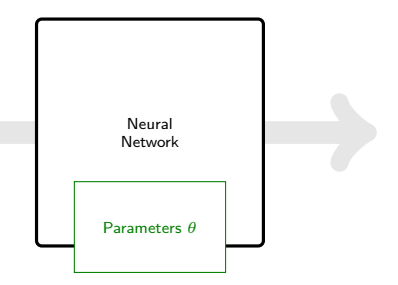
Stabilisation de schéma I BM

Schéma I BM

Stabilisation et contrôle ontimal

Entrainement

Un réseau de neurones une fonction particulière non-linéaire dépendante d'un grand nombre de paramètres.



E. Franck

Contexte physique et mathématique

Modèles réduits pour l'équation de Vlasov

Génération des données Réseaux de neurones

Résultats

Modèle fluide

Difficultés : stabilité et coût calcul

Fermeture et bases réduites

Bases réduites pour les équations hyperboliques Fermeture et contrôle ontimal

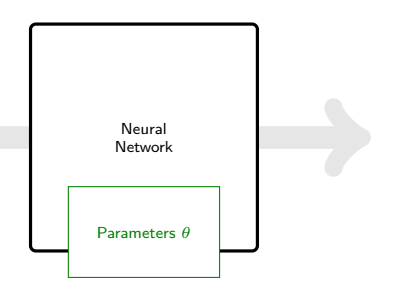
Stabilisation de schéma I BM

Schéma I BM

Stabilisation et contrôle ontimal

Entrainement

L'entrainement d'un réseau est un processus d'optimisation qui permet d'ajuster les paramètres.



E. Franck

Contexte physique et mathématique

Modèles réduits pour l'équation de Vlasov

Génération des données Réseaux de neurones

Résultats

Modèle fluide

Difficultés : stabilité et coût calcul

Fermeture et bases réduites

Bases réduites pour les équations hyperboliques Fermeture et contrôle optimal

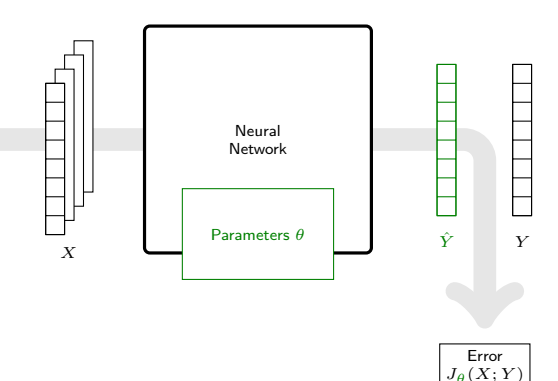
Stabilisation de schéma I BM

Schéma LBM

Stabilisation et contrôle ontimal

Entrainement

Pour chaque couple (X,Y) dans l'ensemble de données, une erreur est calculée entre la prédiction \hat{Y} et la solution Y.



E. Franck

Contexte physique et mathématique

Modèles réduits pour l'équation de Vlasov

Génération des données Réseaux de neurones

Résultats

Modèle fluide Difficultés : stabilité et coût calcul

Fermeture et bases réduites

Bases réduites pour les équations hyperboliques Fermeture et contrôle optimal

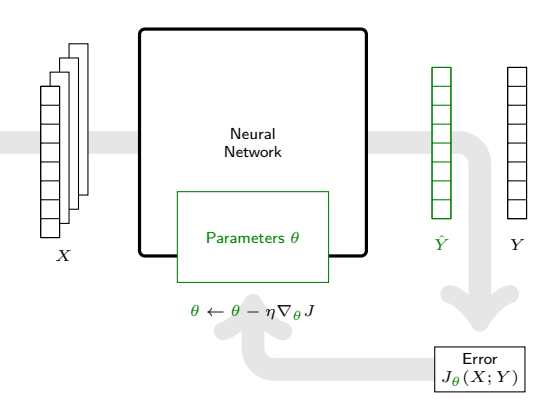
Stabilisation de schéma I BM

Schéma I BM

Stabilisation et contrôle ontimal

Entrainement

L'erreur permet d'ajuster les paramètres avec un algorithme de gradient.



F. Franck

Contexte physique et mathématique

Modèles réduits pour l'équation de Vlasov

Génération des données

Réseaux de neurones

Résultats

Modèle fluide Difficultés : stabilité et coût calcul

Fermeture et bases réduites

Bases réduites pour les équations hyperboliques Fermeture et contrôle ontimal

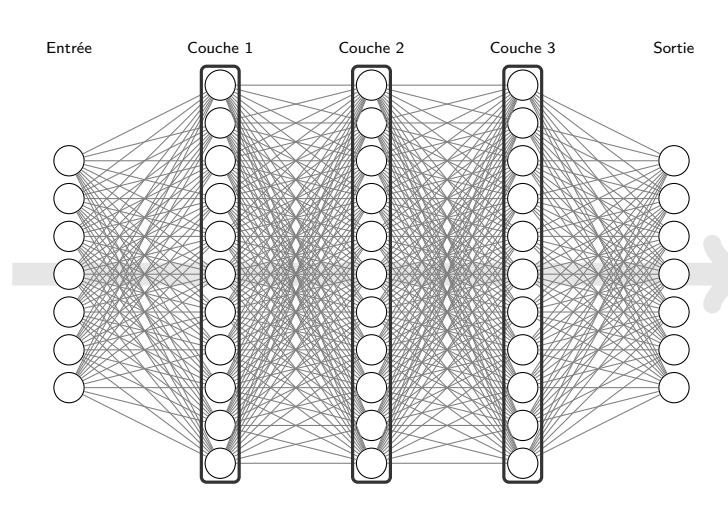
Stabilisation de schéma I BM

Schéma I RM ontimal

Stabilisation et contrôle

Structure générale

L'entrée passe sucessivement dans des couches cachées.



- En analyse numérique, on utilise en général des fonctions paramétriques obtenues en sommant des fonctions simples ou données : $f(x) = \sum_{i=1}^{N} \theta_i \phi_i(x)$.
- Un réseau de neurone est obtenu par composition de fonctions simples.

E. Franck

Contexte physique et mathématique

Modèles réduits pour l'équation de

Génération des données

Réseaux de neurones

Résultats

Vlasov

Modèle fluide Difficultés : stabilité et coût calcul

Fermeture et bases réduites

Bases réduites pour les équations hyperboliques Fermeture et contrôle ontimal

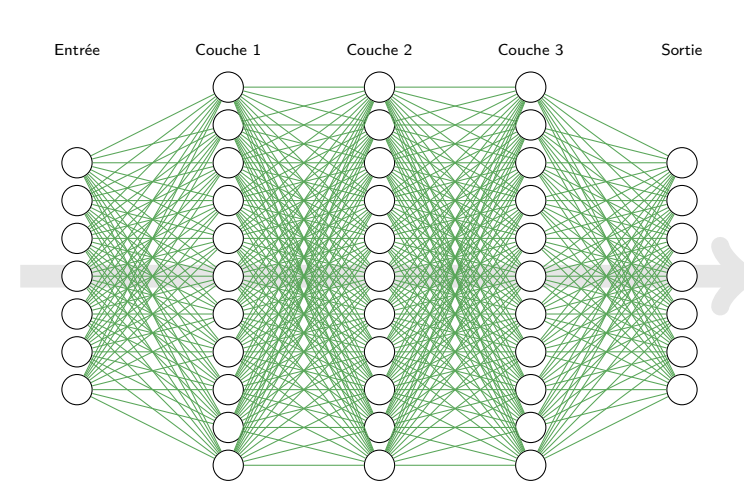
Stabilisation de schéma I BM

Schéma I BM

Stabilisation et contrôle ontimal

Structure générale

Chaque arête contient un paramètre qui peut être ajusté dans l'entrainement.



- En analyse numérique, on utilise en général des fonctions paramétriques obtenues en sommant des fonctions simples ou données : $f(x) = \sum_{i=1}^N \theta_i \phi_i(x)$.
- Un réseau de neurone est obtenu par composition de fonctions simples.

E. Franck

Contexte physique et mathématique

Modèles réduits pour l'équation de Vlasov

Génération des données

Réseaux de neurones

Résultats

Modèle fluide Difficultés : stabilité et coût calcul

Fermeture et bases réduites

Bases réduites pour les équations hyperboliques Fermeture et contrôle ontimal

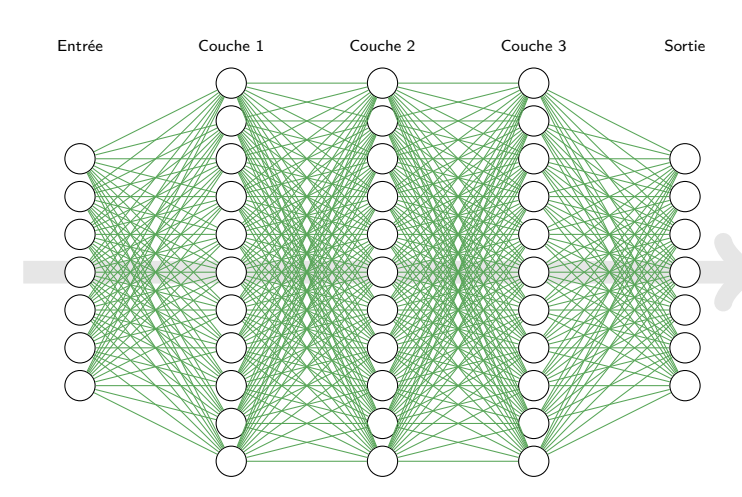
Stabilisation de schéma I BM

Schéma I BM

Stabilisation et contrôle ontimal

Structure générale

Chaque neurone applique une fonction d'activation non-linéaire a son résultat.



- En analyse numérique, on utilise en général des fonctions paramétriques obtenues en sommant des fonctions simples ou données : $f(x) = \sum_{i=1}^N \theta_i \phi_i(x)$.
- Un réseau de neurone est obtenu par composition de fonctions simples.

E. Franck

Contexte physique et mathématique

Modèles réduits pour l'équation de Vlasov

Génération des données Réseaux de neurones

Résultats

Modèle fluide Difficultés : stabilité et coût calcul

Fermeture et bases réduites

Bases réduites pour les équations hyperboliques Fermeture et contrôle ontimal

Stabilisation de schéma I BM

Schéma LBM

Stabilisation et contrôle optimal

Réseaux convolutifs I

- Réseaux convolutifs : étape linéaire basée sur des convolutions contre des petits noyaux.
- Avantages: Réseau de neurones creux. Très efficace pour les données structurées (données spatiales sur grilles cartésiennes, images, signaux temporelles etc).
- Exemple : détection de discontinuités dans des fonctions.
 On génère 1000 fonctions avec des modes de Fourier choisis aléatoirement. On ajoute une discontinuité aléatoire. 890 (entrainement), 110 (pour monitorer le sur-apprentissage).
- But : classifier les fonctions avec et sans discontinuité :

$$f(x,y) = \left(\sum_{i=1}^{5} \alpha_i cos(2\pi k_i x) sin(2\pi l_i y)\right) Disc(x,y)$$

avec $k_i,\, l_i$ aléatoire entre 0 et 4, $\alpha_i \in [-1,1]$ et Disc une discontinuité aléatoire. Maillage : 48×48 .

F. Franck

Contexte physique et mathématique

Modèles réduits pour l'équation de Vlasov

Génération des données

Réseaux de neurones

Résultats Modèle fluide

Difficultée : etabilité et coût calcul

Fermeture et bases réduites

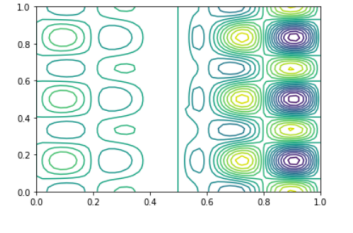
Bases réduites pour les équations hyperboliques Fermeture et contrôle ontimal

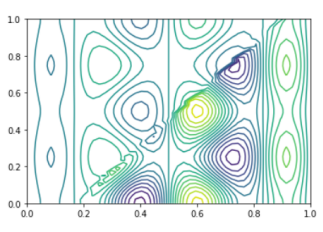
Stabilisation de schéma I BM

Schéma I RM

Stabilisation et contrôle ontimal

Réseaux convolutifs II





Test: 200 fonctions supplémentaires.

- Réseau totalement connecté (4 couches) 1 : 566 000 poids. Efficacité $\approx 0.45 0.6$.
- Réseau totalement connecté (4 couches) 2 : 230 000 poids. Efficacité $\approx 0.45 0.6$.
- CNN (3 couches Conv, 3 couches denses) : 41 300 poids. Efficacité $\approx 0.9 0.95$.

E. Franck

Contexte physique et mathématique

Modèles réduits pour l'équation de Vlasov

Génération des données Réseaux de neurones

Résultats

Modèle fluide

Difficultés : stabilité et coût calcul

Fermeture et bases réduites

Bases réduites pour les équations hyperboliques Fermeture et contrôle optimal

Stabilisation de schéma LBM

Schéma I RM

Stabilisation et contrôle optimal

Réseaux convolutifs III

Sortie

	Couche	convolutive	:
--	--------	-------------	---

Noyau

Entrée

П		
n	k	
H		

E. Franck

Contexte physique et mathématique

Modèles réduits pour l'équation de Vlasov

Génération des données Réseaux de neurones

Résultats

Modèle fluide

Difficultés : stabilité et

Fermeture et bases réduites

Bases réduites pour les équations hyperboliques Fermeture et contrôle ontimal

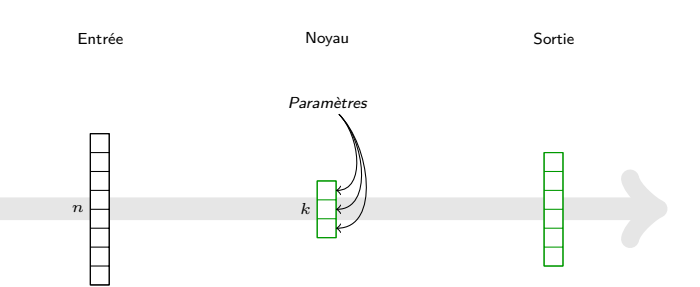
Stabilisation de schéma I BM

Schéma LBM

Stabilisation et contrôle ontimal

Réseaux convolutifs III

Les paramètres sont localisés dans le noyau.



E. Franck

Contexte physique et mathématique

Modèles réduits pour l'équation de Vlasov

Génération des données Réseaux de neurones

Résultats

Modèle fluide

Difficultés : stabilité et

Fermeture et bases réduites

Bases réduites pour les équations hyperboliques Fermeture et contrôle ontimal

Stabilisation de schéma I BM

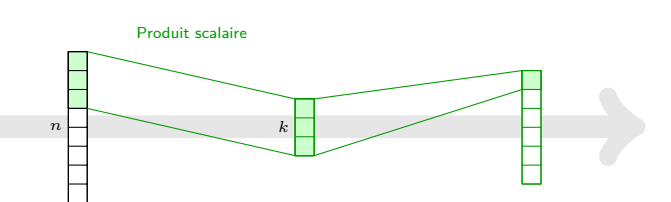
Schéma I BM

Stabilisation et contrôle ontimal

Réseaux convolutifs III

Le produit avec le noyau applique un filtre.





E. Franck

Contexte physique et mathématique

Modèles réduits pour l'équation de Vlasov

Génération des données Réseaux de neurones

Résultats

Modèle fluide

Difficultés : stabilité et coût calcul

Fermeture et bases réduites

Bases réduites pour les équations hyperboliques Fermeture et contrôle ontimal

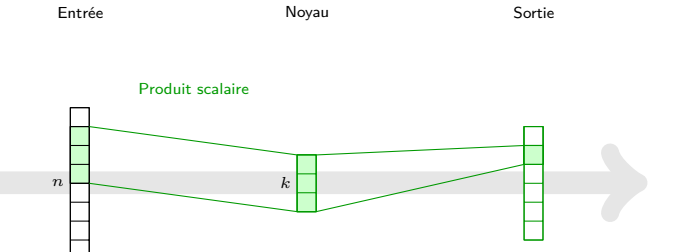
Stabilisation de schéma I BM

Schéma I BM

Stabilisation et contrôle ontimal

Réseaux convolutifs III

Le produit avec le noyau applique un filtre.



E. Franck

Contexte physique et mathématique

Modèles réduits pour l'équation de Vlasov

Génération des données Réseaux de neurones

Résultats

Modèle fluide Difficultés : stabilité et

Difficultés : stabilité e coût calcul

Fermeture et bases réduites

Bases réduites pour les équations hyperboliques Fermeture et contrôle ontimal

Stabilisation de schéma I BM

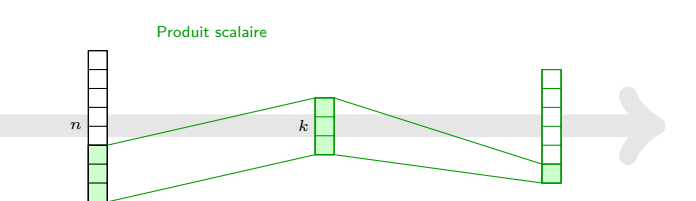
Schéma LBM

Stabilisation et contrôle ontimal

Réseaux convolutifs III

Le produit avec le noyau applique un filtre.





E. Franck

Contexte physique et mathématique

Modèles réduits pour l'équation de Vlasov

Génération des données Réseaux de neurones

Résultats

Modèle fluide Difficultés : stabilité et

Difficultés : stabilité e coût calcul

Fermeture et bases réduites

Bases réduites pour les équations hyperboliques Fermeture et contrôle ontimal

Stabilisation de schéma I BM

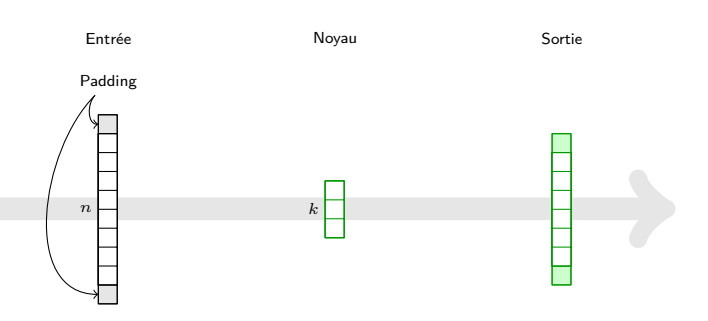
Schéma I BM

Stabilisation et contrôle optimal

Réseaux convolutifs III

Padding

Pour obtenir une sortie de même taille : "padding".



E. Franck

Contexte physique et mathématique

Modèles réduits pour l'équation de Vlasov

Génération des données Réseaux de neurones

Résultats

Modèle fluide

Difficultés : stabilité et coût calcul

Fermeture et bases réduites

Bases réduites pour les équations hyperboliques Fermeture et contrôle ontimal

Stabilisation de schéma I BM

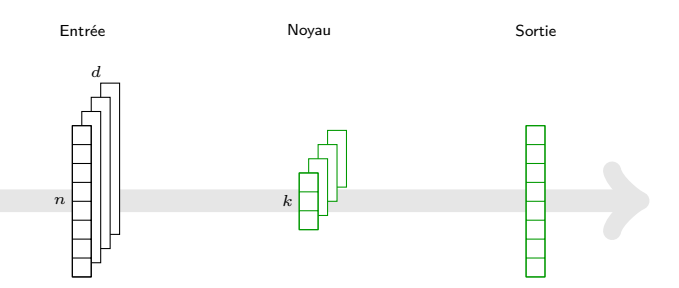
Schéma LBM

Stabilisation et contrôle ontimal

Réseaux convolutifs III

Entrée à plusieurs vecteurs

Entrées multiples : couleurs dans une image, ...



E. Franck

Contexte physique et mathématique

Modèles réduits pour l'équation de Vlasov

Génération des données Réseaux de neurones

Résultats

Modèle fluide Difficultés : stabilité et

Difficultés : stabilité e coût calcul

Fermeture et bases réduites

Bases réduites pour les équations hyperboliques Fermeture et contrôle ontimal

Stabilisation de schéma I BM

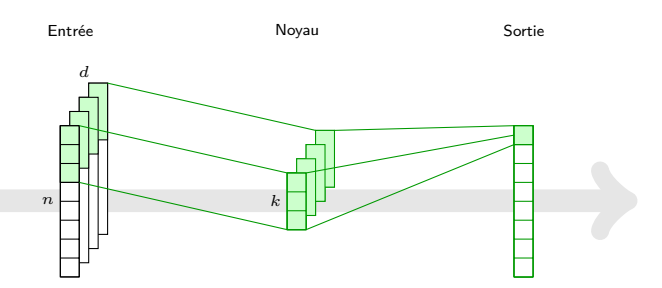
Schéma LBM

Stabilisation et contrôle ontimal

Réseaux convolutifs III

Entrée à plusieurs vecteurs

La sortie est donnée par la somme des produits scalaires.



E. Franck

Contexte physique et mathématique

Modèles réduits pour l'équation de Vlasov

Génération des données Réseaux de neurones

Résultats

Modèle fluide Difficultés : stabilité et coût calcul

Fermeture et bases réduites

Bases réduites pour les équations hyperboliques Fermeture et contrôle ontimal

Stabilisation de schéma I BM

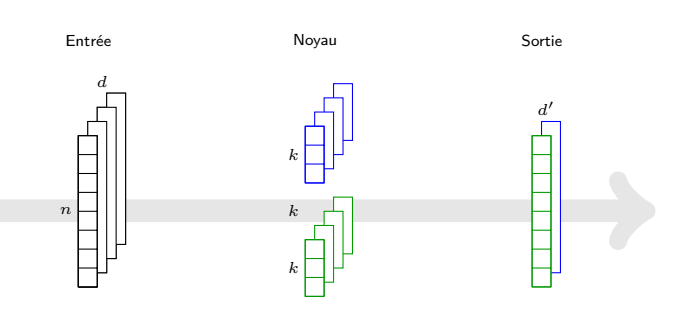
Schéma I BM

Stabilisation et contrôle ontimal

Réseaux convolutifs III

Sortie à plusieurs vecteurs

On peut appliquer plusieurs filtres (noyau).



E. Franck

Contexte physique et mathématique

Modèles réduits pour l'équation de Vlasov

Génération des données Réseaux de neurones

Résultats

Modèle fluide Difficultés : stabilité et coût calcul

Fermeture et bases réduites

Bases réduites pour les équations hyperboliques Fermeture et contrôle ontimal

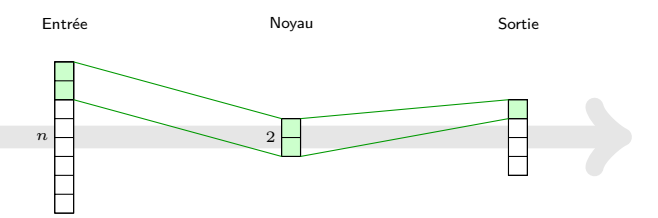
Stabilisation de schéma I BM

Schéma LBM

Stabilisation et contrôle optimal

"Sous- et sur-échantillonnage"

On utilise une convolution différente pour diminuer la taille du signal.



E. Franck

Contexte physique et mathématique

Modèles réduits pour l'équation de Vlasov

Génération des données Réseaux de neurones

Résultats Modèle fluide

Difficultés : stabilité et coût calcul

Fermeture et bases réduites

Bases réduites pour les équations hyperboliques Fermeture et contrôle optimal

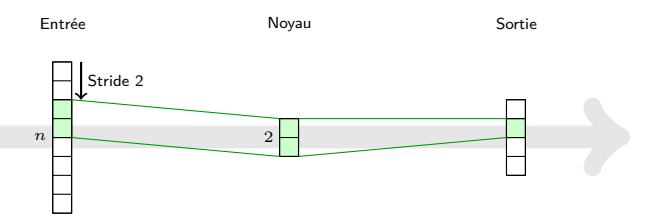
Stabilisation de schéma I BM

Schéma LBM

Stabilisation et contrôle optimal

"Sous- et sur-échantillonnage"

Noyau de taille 2 avec un pas de 2



E. Franck

Contexte physique et mathématique

Modèles réduits pour l'équation de Vlasov

Génération des données Réseaux de neurones

Résultats Modèle fluide

Difficultés : stabilité et

coût calcul
Fermeture et bases

réduites

Bases réduites pour les équations hyperboliques Fermeture et contrôle optimal

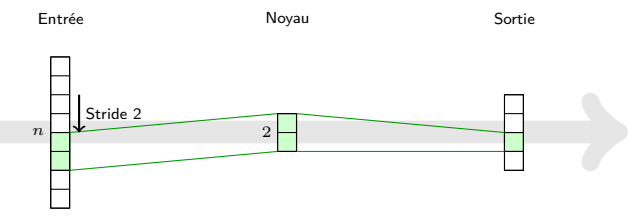
Stabilisation de schéma LBM

Schéma LBM

Stabilisation et contrôle optimal

"Sous- et sur-échantillonnage"

En négligant les bords, sortie = entrée / pas



E. Franck

Contexte physique et mathématique

Modèles réduits pour l'équation de Vlasov

Génération des données Réseaux de neurones

Résultats Modèle fluide

Difficultés : stabilité et coût calcul

Fermeture et bases réduites

Bases réduites pour les équations hyperboliques Fermeture et contrôle ontimal

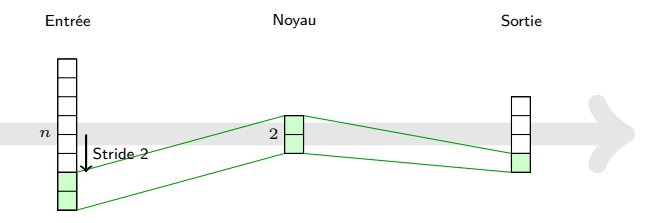
Stabilisation de schéma I BM

Schéma LBM

Stabilisation et contrôle optimal

"Sous- et sur-échantillonnage"

En négligant les bords, sortie = entrée / pas



E. Franck

Contexte physique et mathématique

Modèles réduits pour l'équation de Vlasov

Génération des données Réseaux de neurones

Résultats

Modèle fluide Difficultés : stabilité et

coût calcul

Fermeture et bases réduites

Bases réduites pour les équations hyperboliques Fermeture et contrôle optimal

Stabilisation de schéma LBM

Schéma LBM

Stabilisation et contrôle optimal

"Sous- et sur-échantillonnage"

Ici la sortie est deux fois moins echantillonnée que l'entrée.

Entrée	Noyau	Sortie
n	2	$\frac{n}{2}$

E. Franck

Contexte physique et mathématique

Modèles réduits pour l'équation de Vlasov

Génération des données Réseaux de neurones

Résultats

Modèle fluide Difficultés : stabilité et coût calcul

Fermeture et bases réduites

Bases réduites pour les équations hyperboliques Fermeture et contrôle ontimal

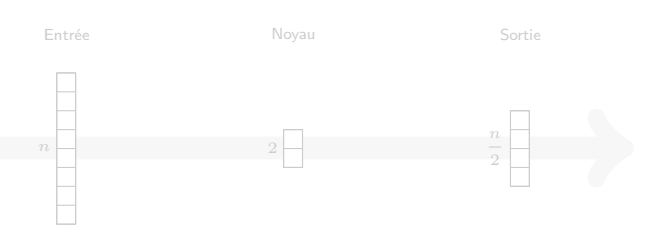
Stabilisation de schéma I BM

Schéma I RM

Stabilisation et contrôle optimal

"Sous- et sur-échantillonnage"

L'opération inverse :



Entrée		Noyau	Sortie	
$\frac{n}{2}$	n	2	n	

E. Franck

Contexte physique et mathématique

Modèles réduits pour l'équation de Vlasov

Génération des données Réseaux de neurones

Résultats

Modèle fluide Difficultés : stabilité et coût calcul

Fermeture et bases réduites

Bases réduites pour les équations hyperboliques Fermeture et contrôle ontimal

Stabilisation de schéma I BM

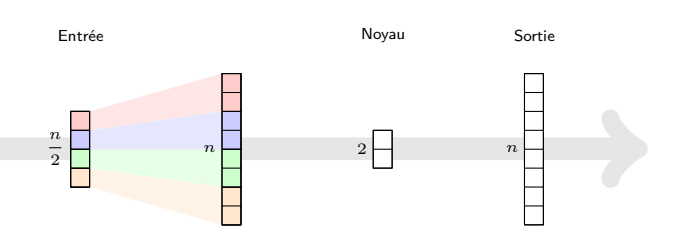
Schéma I BM

Stabilisation et contrôle optimal

"Sous- et sur-échantillonnage"

on duplique les coefficients.





E. Franck

Contexte physique et mathématique

Modèles réduits pour l'équation de Vlasov

Génération des données Réseaux de neurones

Résultats

Modèle fluide Difficultés : stabilité et coût calcul

Fermeture et bases réduites

Bases réduites pour les équations hyperboliques Fermeture et contrôle ontimal

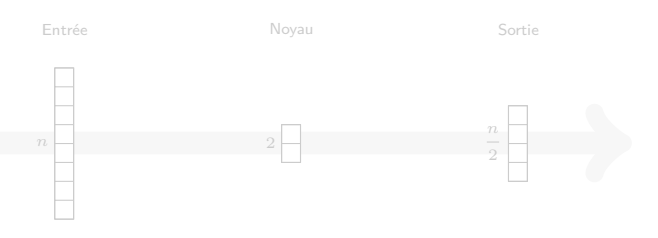
Stabilisation de schéma I BM

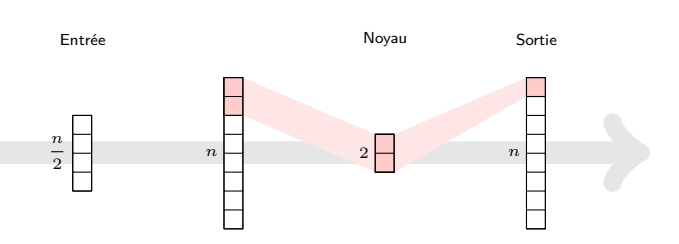
Schéma I BM

Stabilisation et contrôle ontimal

"Sous- et sur-échantillonnage"

On applique une convolution de taille 2 pour régulariser.





E. Franck

Contexte physique et mathématique

Modèles réduits pour l'équation de Vlasov

Génération des données Réseaux de neurones

Résultats Modèle fluide

Difficultés : stabilité et

Fermeture et bases réduites

Bases réduites pour les équations hyperboliques Fermeture et contrôle ontimal

Stabilisation de schéma I BM

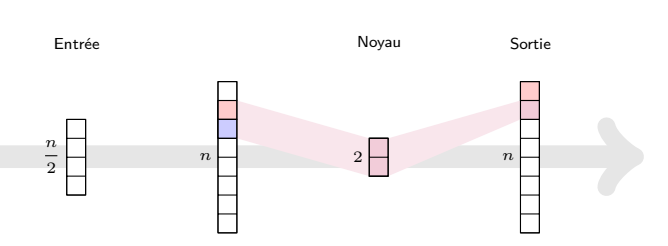
Schéma I BM

Stabilisation et contrôle optimal

"Sous- et sur-échantillonnage"

On applique une convolution de taille 2 pour régulariser.





E. Franck

Contexte physique et mathématique

Modèles réduits pour l'équation de Vlasov

Génération des données Réseaux de neurones

Résultats

Modèle fluide Difficultés : stabilité et coût calcul

Fermeture et bases réduites

Bases réduites pour les équations hyperboliques Fermeture et contrôle ontimal

Stabilisation de schéma I BM

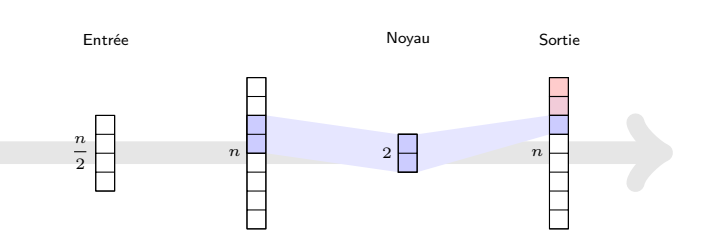
Schéma I RM

Stabilisation et contrôle optimal

"Sous- et sur-échantillonnage"

On applique une convolution de taille 2 pour régulariser.





E. Franck

Contexte physique et mathématique

Modèles réduits pour l'équation de Vlasov

Génération des données Réseaux de neurones

Résultats

Modèle fluide Difficultés : stabilité et coût calcul

Fermeture et bases réduites

Bases réduites pour les équations hyperboliques Fermeture et contrôle ontimal

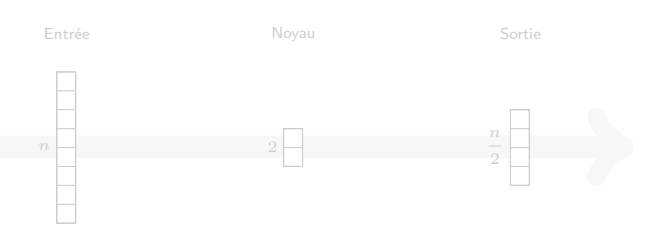
Stabilisation de schéma I BM

Schéma I RM

Stabilisation et contrôle optimal

"Sous- et sur-échantillonnage"

On a, au final, doublé la taille.



Entrée		Noyau	Sortie
$\frac{n}{2}$	n	2	n

E. Franck

Contexte physique et mathématique

Modèles réduits pour l'équation de Vlasov

Génération des données Réseaux de neurones

Résultats

Modèle fluide Difficultés : stabilité et

coût calcul
Fermeture et bases

réduites Bases réduites pour les

équations hyperboliques Fermeture et contrôle optimal

Stabilisation de schéma LBM

Schéma I RM

Stabilisation et contrôle optimal

Réseau V-Net

On utilise une version 1D de l'architecture *V-Net*, pour la fermeture non-locale.



F. Franck

Contexte physique et mathématique

Modèles réduits pour l'équation de Vlasov

Génération des données Réseaux de neurones

Résultats

Modèle fluide

Difficultés : stabilité et coût calcul

Fermeture et bases réduites

Bases réduites pour les équations hyperboliques Fermeture et contrôle ontimal

Stabilisation de schéma I BM

Schéma I RM

Stabilisation et contrôle ontimal

Réseau V-Net

On applique deux couches de convolution pour obtenir d (profondeur) signaux de sortie. Activation : softplus.



- ⇔ Convolution
- ▶ Softplus

E. Franck

Contexte physique et mathématique

Modèles réduits pour l'équation de Vlasov

Génération des données Réseaux de neurones

Résultats

Modèle fluide Difficultés : stabilité et

coût calcul

Fermeture et bases réduites

Bases réduites pour les équations hyperboliques Fermeture et contrôle ontimal

Stabilisation de schéma I BM

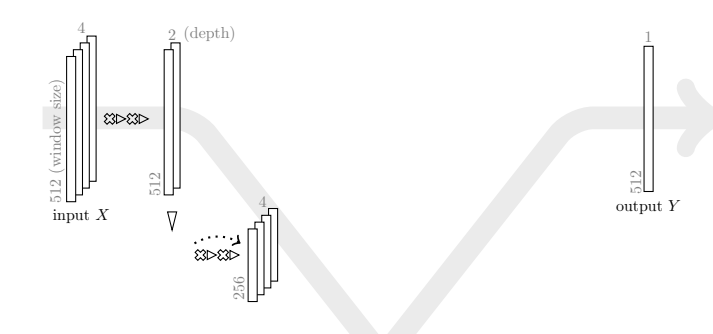
Schéma I BM

Stabilisation et contrôle ontimal

Réseau V-Net

On sous-échantillonne :

on applique deux convolutions en multipliant par deux la profondeur.





E. Franck

Contexte physique et mathématique

Modèles réduits pour l'équation de Vlasov

Génération des données Réseaux de neurones

Résultats

Modèle fluide

Difficultés : stabilité et

Fermeture et bases réduites

Bases réduites pour les équations hyperboliques Fermeture et contrôle ontimal

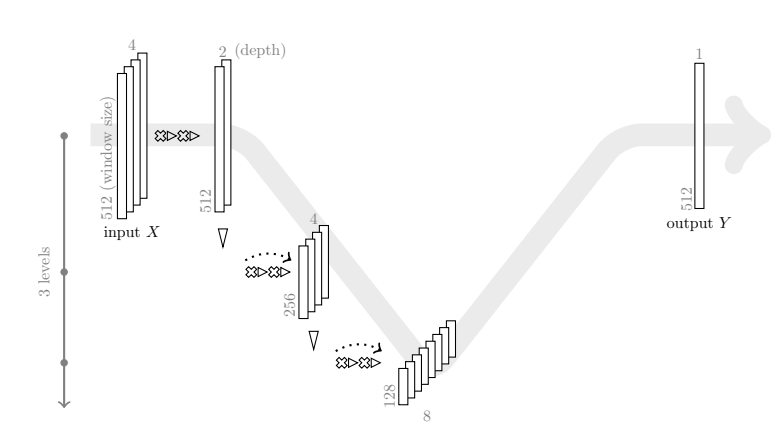
Stabilisation de schéma I BM

Schéma I BM

Stabilisation et contrôle ontimal

Réseau V-Net

L'opération est repétée sur ℓ niveaux.





E. Franck

Contexte physique et mathématique

Modèles réduits pour l'équation de Vlasov

Génération des données Réseaux de neurones

Résultats

Modèle fluide

Difficultés : stabilité et coût calcul

Fermeture et bases réduites

Bases réduites pour les équations hyperboliques Fermeture et contrôle ontimal

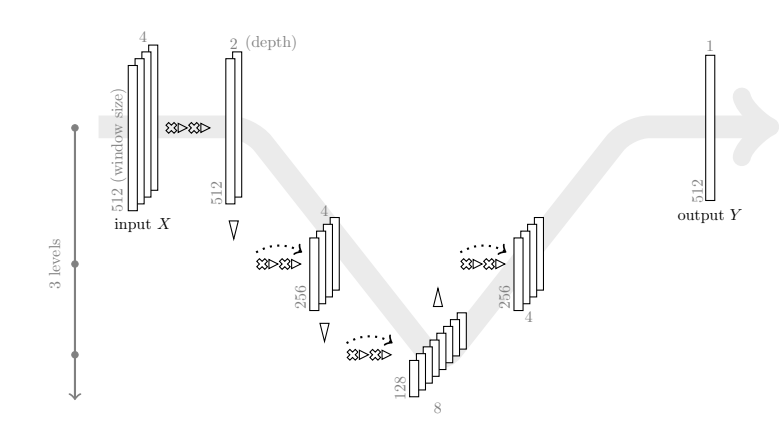
Stabilisation de schéma I BM

Schéma I BM

Stabilisation et contrôle ontimal

Réseau V-Net

On applique les opérations inverses pour obtenir la résolution d'origine.



ಣ	Convolution	∇	Down-sampling	····> Small shortcut
>	Softplus	Δ	Up-sampling	

E. Franck

Contexte physique et mathématique

Modèles réduits pour l'équation de Vlasov

Génération des données Réseaux de neurones

Résultats

Modèle fluide Difficultés : stabilité et coût calcul

Fermeture et bases réduites

Bases réduites pour les équations hyperboliques Fermeture et contrôle ontimal

Stabilisation de schéma I BM

Schéma I BM

Stabilisation et contrôle ontimal

Convolution

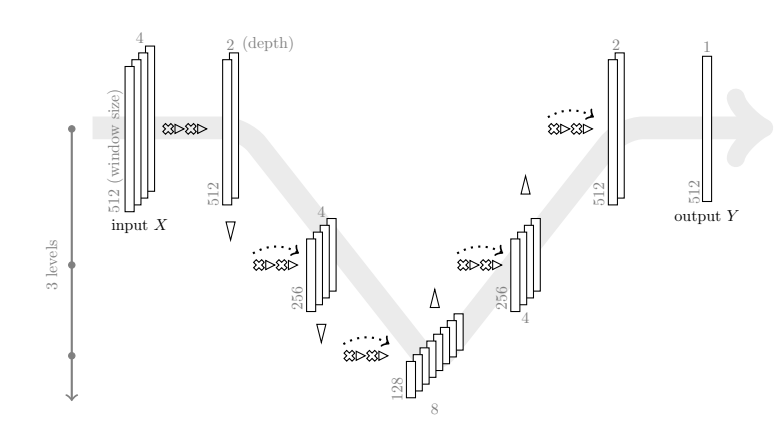
Softplus

ಚ

Réseau V-Net

····> Small shortcut

On applique les opérations inverses pour obtenir la résolution d'origine.



Down-sampling

Up-sampling

E. Franck

Contexte physique et mathématique

Modèles réduits pour l'équation de Vlasov

Génération des données

Réseaux de neurones Modèle fluide

Résultats

Difficultée : etabilité et coût calcul

Fermeture et bases réduites

Bases réduites pour les équations hyperboliques Fermeture et contrôle ontimal

Stabilisation de schéma I BM

Schéma I RM

Stabilisation et contrôle ontimal

Convolution

Softplus

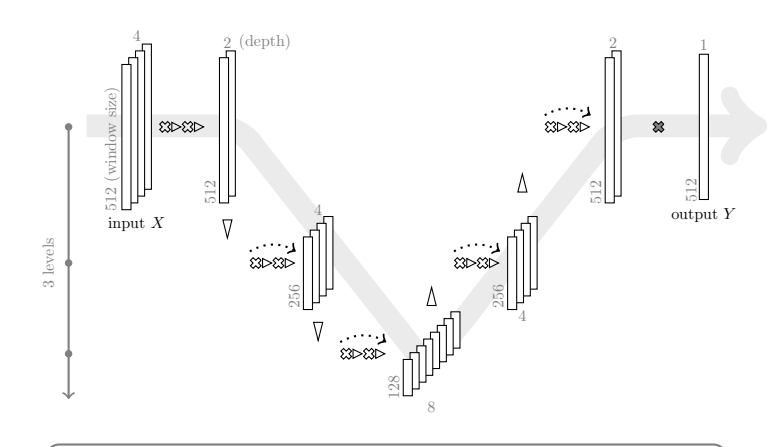
ಜ

Réseau V-Net

····> Small shortcut

Weighted mean

À l'aide d'une moyenne pondérée pour obtenir la sortie.



Down-sampling

Up-sampling

E. Franck

Contexte physique et mathématique

Modèles réduits pour l'équation de Vlasov

Génération des données Réseaux de neurones

Résultats

Modèle fluide

coût calcul

Fermeture et bases réduites

Bases réduites pour les équations hyperboliques Fermeture et contrôle ontimal

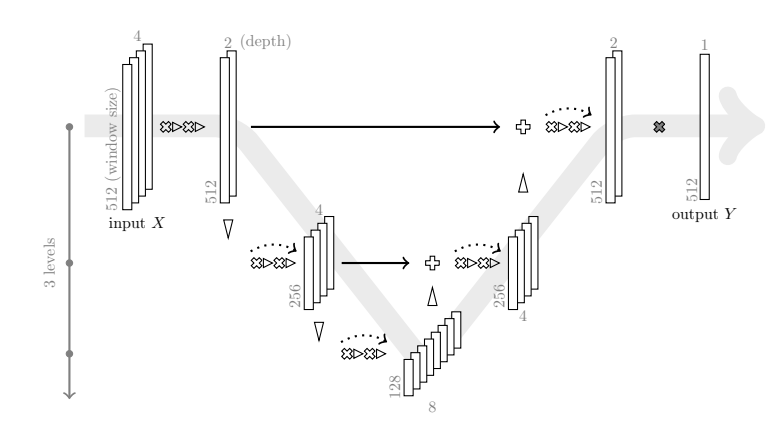
Stabilisation de schéma I BM

Schéma I BM

Stabilisation et contrôle ontimal

Réseau V-Net

On moyenne les signaux avant et après reconstruction





E. Franck

Contexte physique et mathématique

Modèles réduits pour l'équation de Vlasov

Génération des données Réseaux de neurones

Résultats

Modèle fluide Difficultés : stabilité et

coût calcul

Fermeture et bases

réduites

Bases réduites pour les équations hyperboliques Fermeture et contrôle optimal

Stabilisation de schéma I BM

Schéma LBM

Stabilisation et contrôle ontimal

Sommaire

Contexte physique et mathématique

2 Modèles réduits pour l'équation de Vlasov

Génération des donnée

Résultats

Modèle fluide

Difficultés : stabilité et coût calcul

3 Fermeture et bases réduites

Bases réduites pour les équations hyperboliques Fermeture et contrôle optimal

4 Stabilisation de schéma LBM Schéma LBM Stabilisation et contrôle ont

E. Franck

Contexte physique et mathématique

Modèles réduits pour l'équation de Vlasov

Génération des données Réseaux de neurones

Résultats

Modèle fluide Difficultés : stabilité et coût calcul

Fermeture et bases réduites

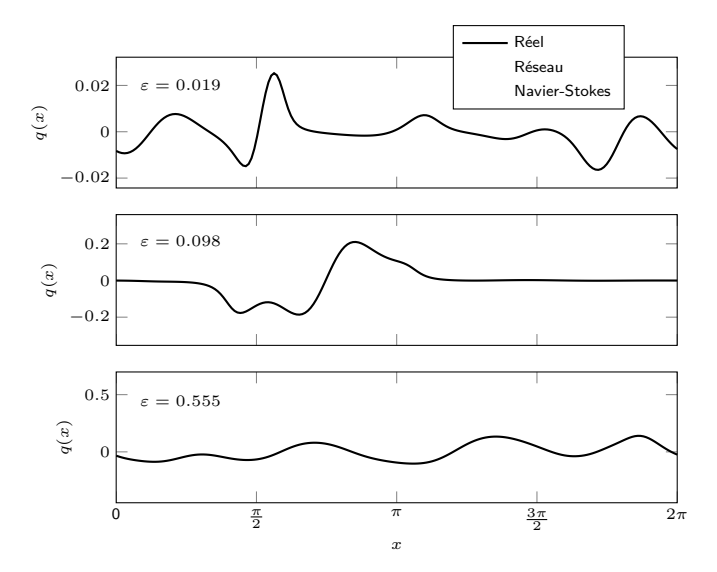
Bases réduites pour les équations hyperboliques Fermeture et contrôle ontimal

Stabilisation de schéma I BM

Schéma LBM

Stabilisation et contrôle ontimal

Exemples issus du jeu de données test



E. Franck

Contexte physique et mathématique

Modèles réduits pour l'équation de Vlasov

Génération des données Réseaux de neurones

Résultats

coût calcul

Modèle fluide Difficultés : stabilité et

Fermeture et bases réduites

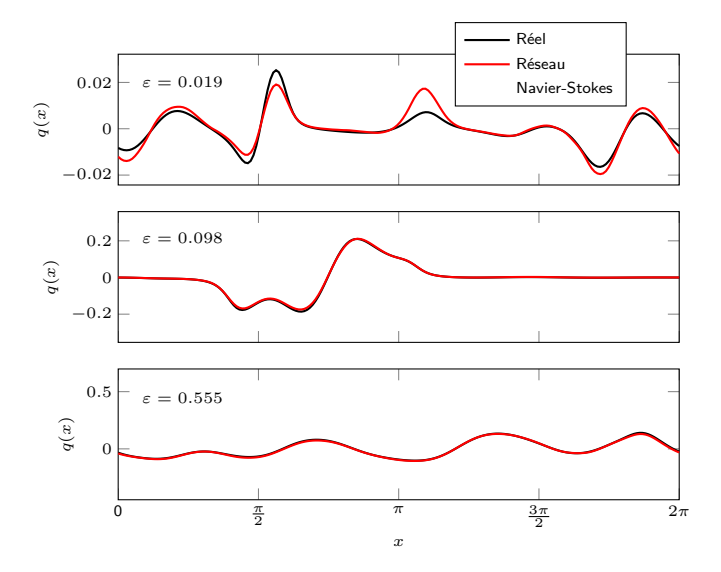
Bases réduites pour les équations hyperboliques Fermeture et contrôle optimal

Stabilisation de schéma I BM

Schéma LBM

Stabilisation et contrôle ontimal

Exemples issus du jeu de données test



E. Franck

Contexte physique et mathématique

Modèles réduits pour l'équation de Vlasov

Génération des données Réseaux de neurones

Résultats

Modèle fluide Difficultés : stabilité et coût calcul

Fermeture et bases réduites

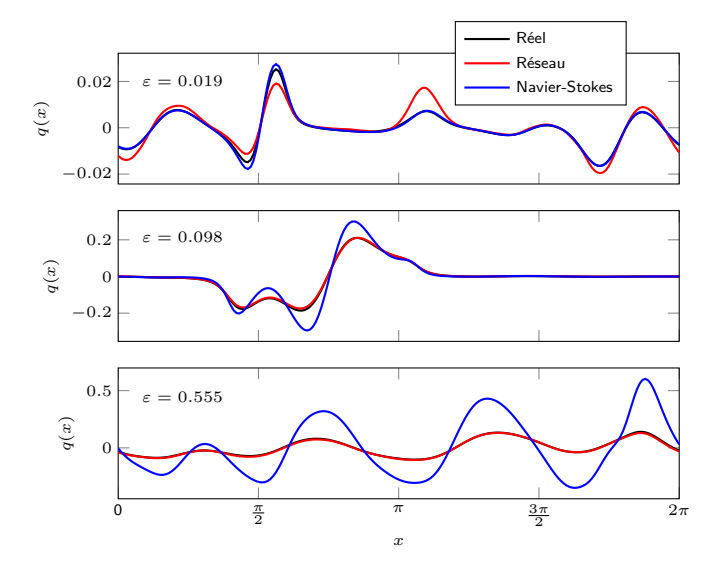
Bases réduites pour les équations hyperboliques Fermeture et contrôle ontimal

Stabilisation de schéma I BM

Schéma LBM

Stabilisation et contrôle optimal

Exemples issus du jeu de données test



E. Franck

Contexte physique et mathématique

Modèles réduits pour l'équation de Vlasov

Génération des données Réseaux de neurones

Résultats

Modèle fluide

Difficultés : stabilité et coût calcul

Fermeture et bases réduites

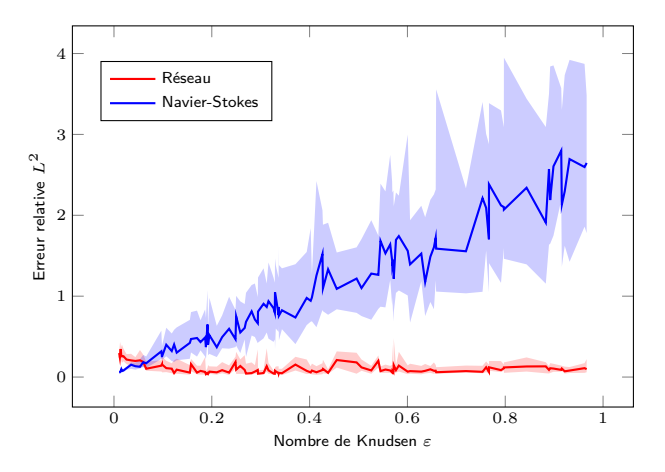
Bases réduites pour les équations hyperboliques Fermeture et contrôle ontimal

Stabilisation de schéma LBM

Schéma LBM

Stabilisation et contrôle ontimal

Influence de ε



Comme attendu, l'erreur explose pour Navier-Stokes quand ε augmente. L'erreur semble quasiment uniforme pour le réseau (qui est moins bon que Navier-Stokes pour les petites valeurs de ε).

E. Franck

Contexte physique et mathématique

Modèles réduits pour l'équation de Vlasov

Génération des données Réseaux de neurones

Résultats

Modèle fluide

Difficultés : stabilité et coût calcul

Fermeture et bases réduites

Bases réduites pour les équations hyperboliques Fermeture et contrôle optimal

Stabilisation de schéma I BM

Schéma LBM

Stabilisation et contrôle ontimal

Sommaire

- Contexte physique et mathématique
- 2 Modèles réduits pour l'équation de Vlasov

Génération des données Réseaux de neurones

Modèle fluide

Difficultés : stabilité et coût calcul

- 3 Fermeture et bases réduites
 - Bases réduites pour les équations hyperboliques Fermeture et contrôle optimal
- 4 Stabilisation de schéma LBM Schéma LBM

E. Franck

Contexte physique et mathématique

Modèles réduits pour l'équation de Vlasov

Génération des données Réseaux de neurones

Résultats

Modèle fluide

Difficultés : stabilité et coût calcul

Fermeture et bases réduites

Bases réduites pour les équations hyperboliques Fermeture et contrôle optimal

Stabilisation de schéma I BM

Schéma LBM

Stabilisation et contrôle ontimal

Modèle fluide

• On compare l'énergie électrique $\mathcal{E}(t) = \int E(x,t)^2 \, dx$ dans les modèles suivants :

Cinétique

- Dans la suite: Il y a des différences entre "le modèle cinétique" et "le modèle fluide+cinétique". Cela semble provenir des méthodes numériques.
- On peut pas faire mieux que :"fluide + cinétique".

E. Franck

Contexte physique et mathématique

Modèles réduits pour l'équation de Vlasov

Génération des données Réseaux de neurones

Résultats

Modèle fluide

Difficultés : stabilité et coût calcul

Fermeture et bases réduites

Bases réduites pour les équations hyperboliques Fermeture et contrôle optimal

Stabilisation de schéma I BM

Schéma LBM

Stabilisation et contrôle optimal

Modèle fluide

• On compare l'énergie électrique $\mathcal{E}(t)=\int E(x,t)^2\,dx$ dans les modèles suivants :

Cinétique

---- Fluide+Cinétique : $\hat{q} = q$

- Dans la suite: Il y a des différences entre "le modèle cinétique" et "le modèle fluide+cinétique". Cela semble proyenir des méthodes numériques.
- On peut pas faire mieux que :"fluide + cinétique".

E. Franck

Contexte physique et mathématique

Modèles réduits pour l'équation de Vlasov

Génération des données Réseaux de neurones

Résultats

Modèle fluide

Difficultés : stabilité et coût calcul

Fermeture et bases réduites

Bases réduites pour les équations hyperboliques Fermeture et contrôle optimal

Stabilisation de schéma I BM

Schéma LBM

Stabilisation et contrôle optimal

Modèle fluide

• On compare l'énergie électrique $\mathcal{E}(t) = \int E(x,t)^2 \, dx$ dans les modèles suivants :

Cinétique

---- Fluide+Cinétique : $\hat{q} = q$

Fluide+Réseau : $\hat{q} = C_{\theta}(\varepsilon, \rho, u, T)$

- Dans la suite: Il y a des différences entre "le modèle cinétique" et "le modèle fluide+cinétique". Cela semble provenir des méthodes numériques.
- On peut pas faire mieux que :"fluide + cinétique".

E. Franck

Contexte physique et mathématique

Modèles réduits pour l'équation de Vlasov

Génération des données Réseaux de neurones

Résultats

Modèle fluide

Difficultés : stabilité et coût calcul

Fermeture et bases réduites

Bases réduites pour les équations hyperboliques Fermeture et contrôle optimal

Stabilisation de schéma I BM

Schéma LBM

Stabilisation et contrôle optimal

Modèle fluide

• On compare l'énergie électrique $\mathcal{E}(t) = \int E(x,t)^2 \, dx$ dans les modèles suivants :

Cinétique

---- Fluide+Cinétique : $\hat{q} = q$

Fluide+Réseau : $\hat{q} = C_{\theta}(\varepsilon, \rho, u, T)$

- - - - Navier-Stokes : $\hat{q} = -\frac{3}{2}\varepsilon\rho T\partial_x T$

Génération des données Réseaux de neurones

Résultats

Modèle fluide

Difficultés : stabilité et coût calcul

Fermeture et bases réduites

Bases réduites pour les équations hyperboliques Fermeture et contrôle optimal

Stabilisation de schéma I BM

Schéma LBM

Stabilisation et contrôle optimal

Modèle fluide

• On compare l'énergie électrique $\mathcal{E}(t) = \int E(x,t)^2 \, dx$ dans les modèles suivants :

Cinétique

---- Fluide+Cinétique : $\hat{q} = q$

---- Fluide+Réseau : $\hat{q} = C_{\theta}(\varepsilon, \rho, u, T)$

Navier-Stokes : $\hat{q} = -\frac{3}{2}\varepsilon\rho T\partial_x T$

- Dans la suite: Il y a des différences entre "le modèle cinétique" et "le modèle fluide+cinétique". Cela semble proyenir des méthodes numériques.
- On peut pas faire mieux que :"fluide + cinétique".

E. Franck

Contexte physique et mathématique

Modèles réduits pour l'équation de Vlasov

Génération des données Réseaux de neurones Résultats

Modèle fluide

Difficultés : stabilité et coût calcul

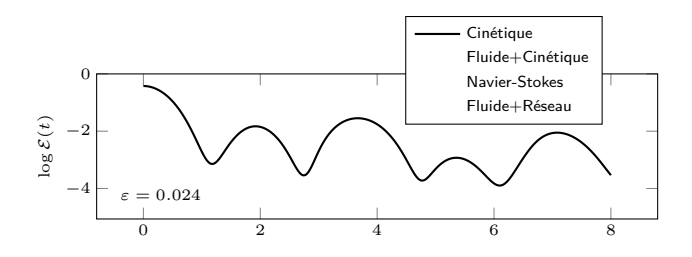
Fermeture et bases réduites

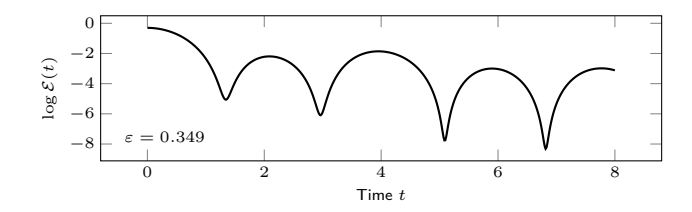
Bases réduites pour les équations hyperboliques Fermeture et contrôle optimal

Stabilisation de schéma LBM

Schéma LBM

Stabilisation et contrôle optimal





E. Franck

Contexte physique et mathématique

Modèles réduits pour l'équation de Vlasov

Génération des données Réseaux de neurones

Résultats

Modèle fluide Difficultés : stabilité et

coût calcul
Fermeture et bases

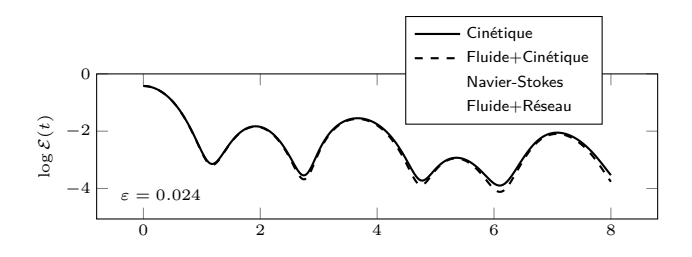
réduites Bases réduites pour les équations hyperboliques

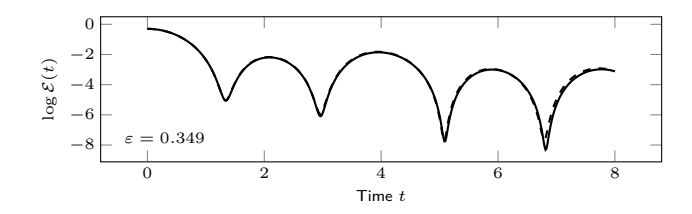
équations hyperbolique Fermeture et contrôle optimal

Stabilisation de schéma LBM

Schéma LBM

Stabilisation et contrôle optimal





E. Franck

Contexte physique et mathématique

Modèles réduits pour l'équation de Vlasov

Génération des données Réseaux de neurones Résultats

Modèle fluide

Difficultés : stabilité et coût calcul

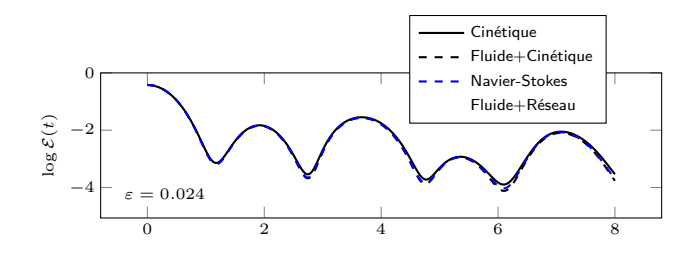
Fermeture et bases réduites

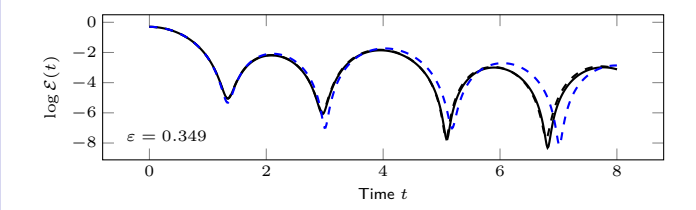
Bases réduites pour les équations hyperboliques Fermeture et contrôle optimal

Stabilisation de schéma LBM

Schéma LBM

Stabilisation et contrôle optimal





E. Franck

Contexte physique et mathématique

Modèles réduits pour l'équation de Vlasov

Génération des données Réseaux de neurones Résultats

Modèle fluide

Difficultés : stabilité et coût calcul

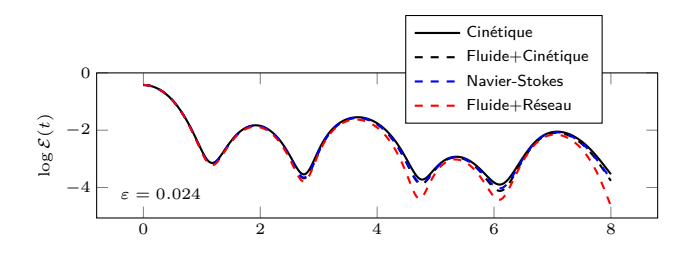
Fermeture et bases réduites

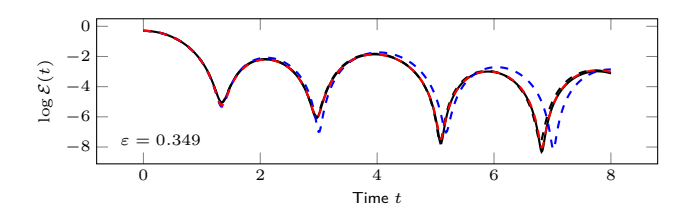
Bases réduites pour les équations hyperboliques Fermeture et contrôle optimal

Stabilisation de schéma LBM

Schéma LBM

Stabilisation et contrôle optimal





E. Franck

Contexte physique et mathématique

Modèles réduits pour l'équation de Vlasov

Génération des données Réseaux de neurones Résultats

Modèle fluide

Difficultés : stabilité et coût calcul

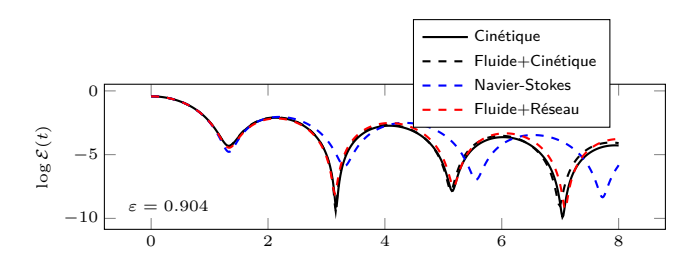
Fermeture et bases réduites

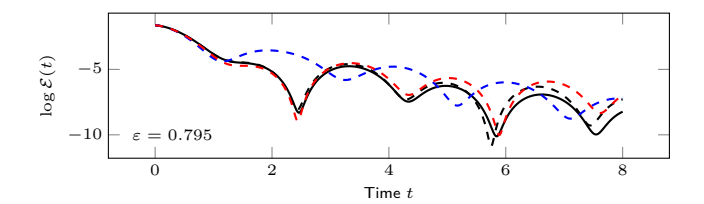
Bases réduites pour les équations hyperboliques Fermeture et contrôle optimal

Stabilisation de schéma LBM

Schéma LBM

Stabilisation et contrôle optimal





E. Franck

Contexte physique et mathématique

Modèles réduits pour l'équation de Vlasov

Génération des données Réseaux de neurones

Résultats Modèle fluide

Difficultés : stabilité et

Fermeture et bases réduites

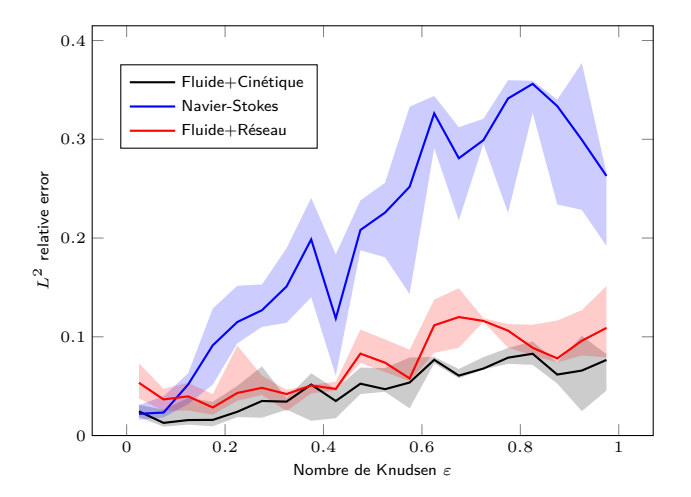
Bases réduites pour les équations hyperboliques Fermeture et contrôle ontimal

Stabilisation de schéma I BM

Schéma LBM

Stabilisation et contrôle ontimal

Influence de ε



L'erreur du modèle "Fluide+Réseau" augmente de façon similaire à celle du modèle "Fluide+Cinétique". Dérive de l'erreur expliquée par des problèmes numériques ?

E. Franck

Contexte physique et mathématique

Modèles réduits pour l'équation de Vlasov

Génération des données Réseaux de neurones

Résultats

Modèle fluide

Difficultés : stabilité et

coût calcul

Fermeture et bases réduites

Bases réduites pour les équations hyperboliques Fermeture et contrôle optimal

Stabilisation de schéma I BM

Schéma LBM

Stabilisation et contrôle ontimal

Sommaire

- Contexte physique et mathématique
- 2 Modèles réduits pour l'équation de Vlasov

Génération des données

Réseaux de neurones

Résultats

Modèle fluide

Difficultés : stabilité et coût calcul

3 Fermeture et bases réduites

Bases réduites pour les équations hyperboliques

Fermeture et contrôle optima

4 Stabilisation de schéma LBM

Schéma LBM

Stabilisation et contrôle optimal

E. Franck

Contexte physique et mathématique

Modèles réduits pour l'équation de Vlasov

Génération des données Réseaux de neurones

Résultats Modèle fluide

réduites

Difficultés : stabilité et

coût calcul Fermeture et bases

Bases réduites pour les équations hyperboliques Fermeture et contrôle ontimal

Stabilisation de schéma I BM

Schéma I RM Stabilisation et contrôle ontimal

Stabilité

	Hyper-paramètres	Valeur
ш:	rule taille de l'entrée	512
	nombre de niveau (ℓ)	5
	profondeur initiale (d)	4
	taille des noyaux (p)	11
	fonction d'activation	softplus

softplus

Nombre total de paramètres : 161 937

Hyper-paramètres du réseau

Préparation des données (standardisation, découpage, normalisation) en annexe.

Schéma :

- On calcule Q_{θ}^{n} avec ρ^{n} , u^{n} et T^{n}
- On calcule l'approximation de \(\pa_x Q_\theta^n\)
- On calcule le modèle fluide avec un schéma explicite $\partial_x Q_{\theta}^n$ traité comme un terme source.
- On peut pas assurer que Q_{θ}^n et $\partial_x Q_{\theta}^n$ ne génèrent pas des oscillations numériques.
- Les oscillations peuvent détruire la stabilité du schéma complet. C'est le cas en pratique.
- 1ère approche (simple): Régularisation Gaussienne.

E. Franck

Contexte physique et mathématique

Modèles réduits pour l'équation de Vlasov

Génération des données Réseaux de neurones

Réseaux de neuron Résultats

Modèle fluide

Difficultés : stabilité et coût calcul

Fermeture et bases réduites

Bases réduites pour les équations hyperboliques Fermeture et contrôle optimal

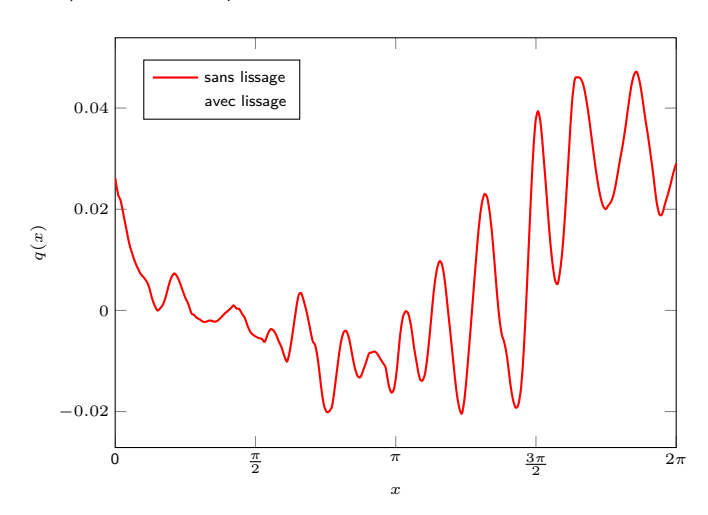
Stabilisation de schéma LBM

Schéma I BM

Stabilisation et contrôle optimal

Exemple

Exemple de flux de chaleur particulièrement oscillant.



E. Franck

Contexte physique et mathématique

Modèles réduits pour l'équation de Vlasov

Génération des données Réseaux de neurones

Résultats Modèle fluide

Difficultés : stabilité et coût calcul

Fermeture et bases réduites

Bases réduites pour les équations hyperboliques Fermeture et contrôle ontimal

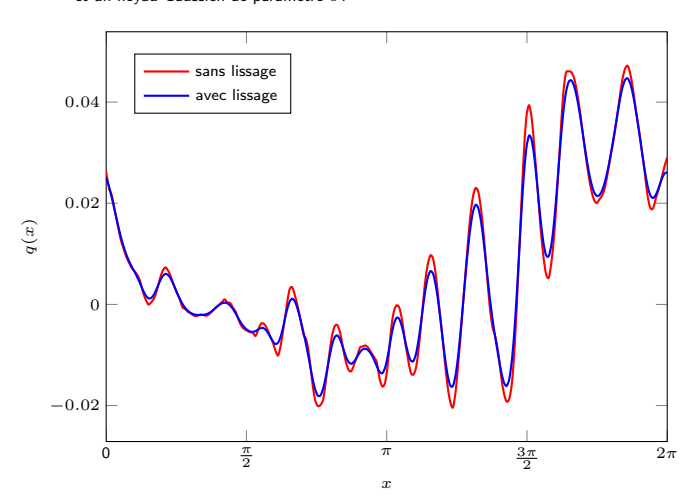
Stabilisation de schéma I BM

Schéma LBM

Stabilisation et contrôle optimal

Exemple

On régularise la prédiction avec une convolution et un noyau Gaussien de paramètre σ .



E. Franck

Contexte physique et mathématique

Modèles réduits pour l'équation de Vlasov

Génération des données Réseaux de neurones

Résultats

Modèle fluide Difficultés : stabilité et

Difficultés : stabilité e coût calcul

Fermeture et bases réduites

Bases réduites pour les équations hyperboliques Fermeture et contrôle optimal

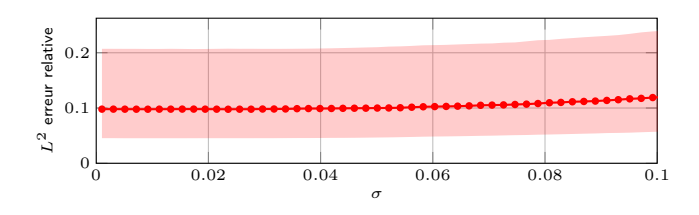
Stabilisation de schéma I BM

Schéma LBM

Stabilisation et contrôle optimal

Analyse de stabilité

Première figure : erreur de prédiction en fonction du lissage.



E. Franck

Contexte physique et mathématique

Modèles réduits pour l'équation de Vlasov

Génération des données Réseaux de neurones

Résultats

Modèle fluide

Difficultés : stabilité et coût calcul

Fermeture et bases réduites

Bases réduites pour les équations hyperboliques Fermeture et contrôle optimal

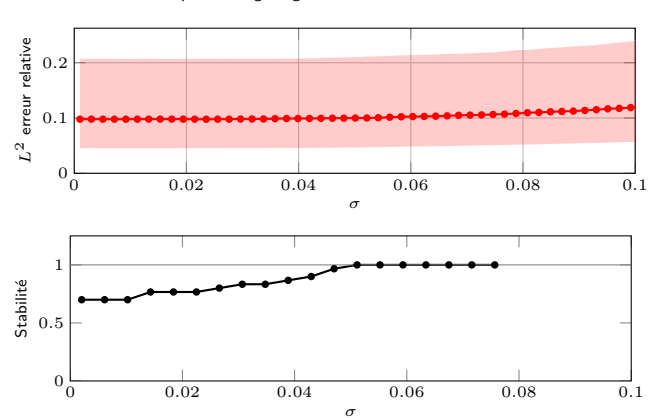
Stabilisation de schéma I BM

Schéma LBM

Stabilisation et contrôle ontimal

Analyse de stabilité

Cette deuxième figure montre la proportion croissante de simulations réussies à mesure que le lissage augmente.



E. Franck

Contexte physique et mathématique

Modèles réduits pour l'équation de Vlasov

Génération des données Réseaux de neurones

Résultats Modèle fluide

Difficultés : stabilité et

coût calcul

Fermeture et bases réduites

Bases réduites pour les équations hyperboliques Fermeture et contrôle optimal

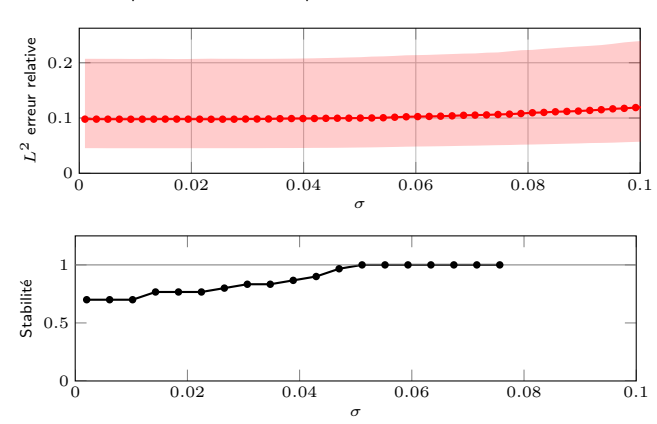
Stabilisation de schéma LBM

Schéma LBM

Stabilisation et contrôle optimal

Analyse de stabilité

Nous avons choisi $\sigma \simeq 0.06$, car cela semble être suffisant pour assurer la stabilité sans pour autant diminuer la précision.



E. Franck

Contexte physique et mathématique

Modèles réduits pour l'équation de Vlasov

Génération des données Réseaux de neurones Résultats

Modèle fluide Difficultés : stabilité et coût calcul

Fermeture et bases réduites

Bases réduites pour les équations hyperboliques Fermeture et contrôle optimal

Stabilisation de schéma I BM

Schéma LBM Stabilisation et contrôle optimal

Conclusion

- Conclusion: Le processus d'apprentissage et le CNN permettent d'obtenir une nouvelle fermeture avec une erreur presque uniforme en ε.
- La fermeture obtenue est plus précise que celle de Navier-Stokes pour des $\varepsilon \in [0,1].$
- Défaut : on ne peut pas garantir la stabilité.
- Travail actuel : Extension 2D × 2D au modèle BGK. Problème de stabilité.
- Futur travail : pour assurer la stabilité, on souhaite apprendre la base aux moments et utiliser la méthode de fermeture basée sur la minimisation d'entropie, avec apprentissage de l'entropie.

E. Franck

Contexte physique et mathématique

Modèles réduits pour l'équation de Vlasov

Génération des données Réseaux de neurones

Résultats

Modèle fluide

Difficultés : stabilité et coût calcul

Fermeture et bases

Bases réduites pour les équations hyperboliques Fermeture et contrôle ontimal

Stabilisation de schéma I BM

Schéma LBM

Stabilisation et contrôle ontimal

Sommaire

- Contexte physique et mathématique
- 2 Modèles réduits pour l'équation de Vlasov

Génération des données

Réseaux de neurones

Résultats

Modèle fluide

Difficultés : stabilité et coût calcu

3 Fermeture et bases réduites

Bases réduites pour les équations hyperboliques Fermeture et contrôle optimal

4 Stabilisation de schéma LBM Schéma LBM Stabilisation et contrôle optin

E. Franck

Contexte physique et mathématique

Modèles réduits pour l'équation de Vlasov

Génération des données Réseaux de neurones

Résultats

Modèle fluide

Difficultés : stabilité et coût calcul

Fermeture et bases réduites

Bases réduites pour les équations hyperboliques

Fermeture et contrôle ontimal

Stabilisation de schéma I BM

Schéma LBM

Stabilisation et contrôle optimal

Sommaire

- Contexte physique et mathématique
- Modèles réduits pour l'équation de Vlasov

Génération des données

Réseaux de neurones

Résultats

Modèle fluide

Difficultés : stabilité et coût calcu

- 3 Fermeture et bases réduites
 - Bases réduites pour les équations hyperboliques

Fermeture et contrôle optimal

- 4 Stabilisation de schéma LBM
 - Schéma LBM

Stabilisation et contrôle optima

E. Franck

Contexte physique

et mathématique Modèles réduits pour l'équation de Vlasoy

Génération des données

Réseaux de neurones

Résultats Modèle fluide

Difficultés : stabilité et

Fermeture et bases réduites

Bases réduites pour les équations hyperboliques

Fermeture et contrôle ontimal

Stabilisation de

schéma LBM

Schéma LBM

Stabilisation et contrôle optimal

EDP hyperbolique et bases réduites

- Objectif: introduire une autre méthode de fermeture. On introduit pour cela un autre problème.
- On considère les équations du type :

$$\partial_t \rho + \partial_x F(\rho) = \frac{1}{R_e} \partial_{xx} \rho$$

- Après discrétisation, on obtient une ODE de taille $n_x: \frac{d}{dt} \rho(t) = F(\rho(t); R_e)$
- Méthode des bases réduites : on cherche une base du type

$$\rho \approx \sum_{k=1}^N \alpha_k(t) \phi_k(x)$$

avec $N \ll n_x$, pour représenter les solutions de cette équation dans une zone de paramètres.

- Méthode POD (Proper Orthogonal Decomposition) :
 - on fait des simulations avec différents paramètres pour obtenir des snapshots ρ_i ,
 - on construit la matrice de covariance

$$C = \frac{1}{m} \sum_{i=1}^{m} \rho_i \otimes \rho_i,$$

- on obtient une base Φ à N colonnes en prenant les N vecteurs propres associés aux plus grandes valeurs propres.
- On teste avec une méthode de Galerkin :

$$\frac{d}{dt}z(t) = \Phi^t F(\Phi z(t))$$

avec
$$z(t) = \Phi \rho(t)$$
.

F. Franck

La résolution de l'ODE

$$\frac{d}{dt}\mathbf{z}(t) = \Phi^t F(\Phi \mathbf{z}(t); R_e)$$

EDP hyperbolique et bases réduites

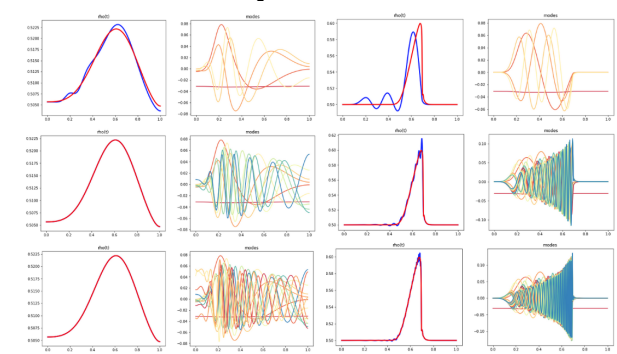
avec $\mathbf{z}(t) = \Phi \boldsymbol{\rho}(t)$ nécessite de repasser en grande dimension.

On veut construire une fermeture du type :

$$\frac{d}{dt}\mathbf{z}(t) = F_r(\mathbf{z}(t); R_e)$$

Méthode classique : DEIM, Problème : la POD, et surtout DEIM, fonctionne mal en régime hyperbolique,

Exemple : équation de Burgers $\rightarrow F(\rho) = \frac{1}{2}\rho^2$.



À gauche : $R_e = 40$ (5, 10, 20 modes); à droite : $R_e = 40000$ (5, 20, 40 modes)

Conclusion : la POD crée une base spectrale associée aux données. On retrouve l'effet de Gibbs associé.

Contexte physique et mathématique Modèles réduits pour l'équation de

Vlasov Génération des données

Réseaux de neurones Résultats

Modèle fluide

Difficultée : etabilité et coût calcul

Fermeture et bases réduites

Bases réduites pour les équations hyperboliques

Fermeture et contrôle ontimal

Stabilisation de schéma I BM

Schéma I RM

Stabilisation et contrôle ontimal

E. Franck

Contexte physique et mathématique

Modèles réduits pour l'équation de Vlasov

Génération des données Réseaux de neurones

Résultats

Modèle fluide

Difficultés : stabilité et coût calcul

Fermeture et bases réduites

Bases réduites pour les équations hyperboliques Fermeture et contrôle optimal

Stabilisation de schéma I BM

Schéma LBM

Stabilisation et contrôle ontimal

Sommaire

- Contexte physique et mathématique
- 2 Modèles réduits pour l'équation de Vlasov

Génération des données

Réseaux de neurones

Résultats

Modèle fluide

Difficultés : stabilité et coût calcu

3 Fermeture et bases réduites

Bases réduites pour les équations hyperboliques

Fermeture et contrôle optimal

4 Stabilisation de schéma LBM

Schéma LBM

Stabilisation et contrôle optima

E. Franck

Contexte physique et mathématique

Modèles réduits pour l'équation de Vlasov

Génération des données Réseaux de neurones

Résultats Modèle fluide

Difficultés : stabilité et coût calcul

Fermeture et bases réduites

Bases réduites pour les équations hyperboliques Fermeture et contrôle optimal

Stabilisation de schéma I BM

Schéma LBM

Stabilisation et contrôle optimal

Apprentissage de la fermeture

- On souhaite apprendre la fermeture.
- Par régression de modèle :
 - Stratégie 1 (hyper-réduction) :

$$\min_{\theta} \left(\sum_{i=1}^{m} \sum_{t_n=1}^{n_t} \left\| \Phi^t F(\Phi_{\mathbf{z}_i(t_n)}) - F_{\theta}(\mathbf{z}_i(t_n)) \right\|_2^2 \right)$$

avec i le numéro de la condition initiale et $\mathbf{z}_i(t_n) = \Phi \boldsymbol{\rho}_i(t_n)$.

Stratégie 2 (fermeture) :

$$\min_{\theta} \left(\sum_{i=1}^{m} \sum_{t_n=1}^{n_t} \left\| \Phi^t F(\boldsymbol{\rho_i}(t_n)) - F_{\theta}(\mathbf{z}_i(t_n)) \right\|_2^2 \right)$$

avec i le numéro de la condition initiale.

Par régression de trajectoire :

L'idée est de tenir compte de portions entières de trajectoire pour apprendre. On résout donc

$$\min_{\theta} \left(\sum_{i=1}^{m} \int_{0}^{T} \left\| \Phi^{t} \rho_{i}(t) - \mathbf{z}_{i}(t) \right\|_{2}^{2} \right)$$

sous contrainte que $\mathbf{z}_i(t)$ soit solution de

$$\frac{d}{d\mathbf{z}}\mathbf{z}(t) = F_{\theta}(\Phi\mathbf{z}(t)), \qquad \mathbf{z}_{i}(t) = \mathbf{z}_{i}^{0}$$

On parle alors de contrôle optimal.

E. Franck

Contexte physique et mathématique Modèles réduits pour l'équation de

Vlasov Génération des données

Réseaux de neurones

Résultats

Modèle fluide Difficultés : stabilité et coût calcul

Fermeture et bases réduites

Bases réduites pour les équations hyperboliques Fermeture et contrôle optimal

Stabilisation de schéma I BM

Schéma LBM

Stabilisation et contrôle optimal

Apprentissage par régression de trajectoire

On discrétise

$$\min_{\theta} J(\theta) = \min_{\theta} \left(\sum_{i=1}^{m} \sum_{t_n=1}^{n_t} \| \boldsymbol{\rho}_i(t_n) - \mathbf{z}_i(t_n) \|_2^2 \right)$$

avec

$$\mathbf{z}_i(t_n) = S_{\Delta t}^l(\mathbf{z}_i(t_{n-1}))$$

avec S_{Deltat} votre schéma numérique en temps favori.

• Comment apprendre? Descente de gradient :

$$\theta = \theta - \gamma \nabla_{\theta} J(\theta)$$

- Difficulté : le gradient dépend de nombreuses compositions du réseau et de $S_{\Delta t}.$
- Solution: les frameworks d'apprentissage profond sont capables de différentier au travers de nombreuses compositions de fonctions.
 - On fait l'approximation suivante :

$$\sum_{t_n=1}^{n_t} \| \rho_i(t_n) - \mathbf{z}_i(t_n) \|_2^2 \approx \sum_{k=0}^K \sum_{t_n=k}^{(k+1)\Delta_t} \| \rho_i(t_n) - \mathbf{z}_i(t_n) \|_2^2$$

avec ΔT tel que $K\Delta t = n_t$ et avec $\mathbf{z}_i^k(0) = \Phi \boldsymbol{\rho}_i^k(k\Delta_t)$.

 Cette approximation revient à supposer que le coût sur l'ensemble de la trajectoire est très proche de la somme des coûts sur des sous-trajectoires.

Exemple

E. Franck

Contexte physique

Modèles réduits pour l'équation de Vlasov

Génération des données

Réseaux de neurones Résultats

Modèle fluide Difficultés : stabilité et

coût calcul

Fermeture et bases réduites

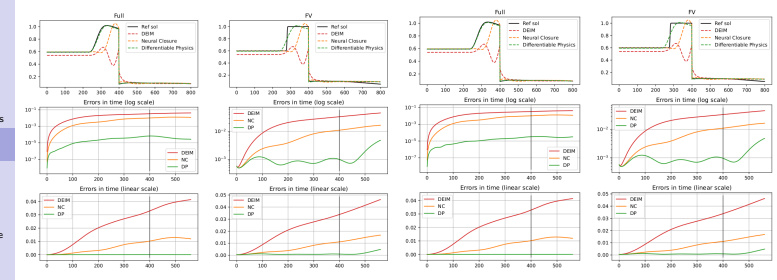
Bases réduites pour les équations hyperboliques Fermeture et contrôle optimal

Stabilisation de schéma I BM

Schéma LBM Stabilisation et contrôle ontimal • On résout le problème suivant de trafic routier

$$\begin{cases} \begin{array}{l} \partial_t \rho_1 + \partial_x \left(\rho_1 \left(1 - \frac{\rho_1}{\rho_1, max} \right) \right) = 0, & x \in [0, 1] \\ \partial_t \rho_2 + \partial_x \left(\rho_2 \left(1 - \frac{\rho_2}{\rho_2, max} \right) \right) = 0, & x \in [1, 2] \\ \rho_1(t, 0) = \rho_l, & \rho_1(t, 1) = \rho_2(t, 1) = g(\rho_1(t, 1), \rho_2(t, 0)), & \rho_2(t, 2) = \rho_r \end{array} \end{cases}$$

• On couple donc la propagation du trafic sur deux routes avec des densités maximales $ho_{i,max}$.



- 5 modes. À gauche: on apprend sur des tranches de 50 pas de temps. À droite: on apprend sur des tranches de 200 pas de temps.
- On observe un léger gain de précision avec 200 pas de temps dans l'apprentissage.

Contexte physique

Modèles réduits pour l'équation de Vlasov

Génération des données

Réseaux de neurones Résultats

Modèle fluide Difficultés : stabilité et

coût calcul Fermeture et bases

réduites

Bases réduites pour les équations hyperboliques

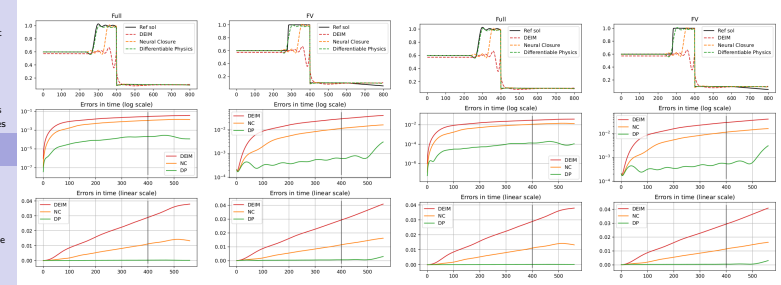
Fermeture et contrôle

optimal
Stabilisation de schéma I BM

Schéma LBM Stabilisation et contrôle ontimal On résout le problème suivant de trafic routier

$$\begin{cases} \partial_{t}\rho_{1} + \partial_{x} \left(\rho_{1} \left(1 - \frac{\rho_{1}}{\rho_{1,max}}\right)\right) = 0, & x \in [0,1] \\ \partial_{t}\rho_{2} + \partial_{x} \left(\rho_{2} \left(1 - \frac{\rho_{2}}{\rho_{2,max}}\right)\right) = 0, & x \in [1,2] \\ \rho_{1}(t,0) = \rho_{l}, & \rho_{1}(t,1) = \rho_{2}(t,1) = g(\rho_{1}(t,1), \rho_{2}(t,0)), & \rho_{2}(t,2) = \rho_{r} \end{cases}$$

• On couple donc la propagation du trafic sur deux routes avec des densités maximales $ho_{i,max}.$



- 10 modes. À gauche: on apprend sur des tranches de 50 pas de temps. À droite: on apprend sur des tranches de 200 pas de temps.
- On observe un léger gain de précision avec 200 pas de temps dans l'apprentissage.

Exemple

E. Franck

Contexte physique

Modèles réduits pour l'équation de Vlasov

Génération des données

Réseaux de neurones Résultats

Modèle fluide Difficultés : stabilité et

coût calcul Fermeture et bases

réduites Bases réduites pour les

équations hyperboliques Fermeture et contrôle optimal

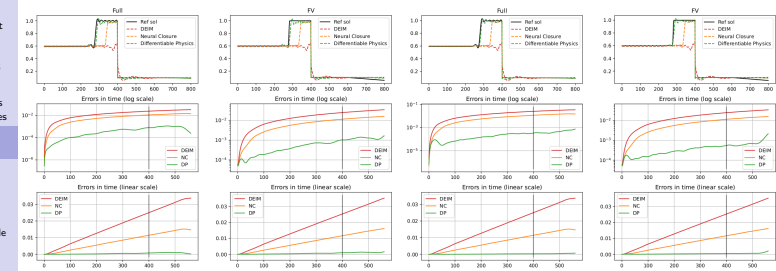
Stabilisation de schéma LBM

Schéma LBM Stabilisation et contrôle ontimal

On résout le problème suivant de trafic routier

$$\begin{cases} \partial_{t}\rho_{1} + \partial_{x} \left(\rho_{1} \left(1 - \frac{\rho_{1}}{\rho_{1,max}}\right)\right) = 0, & x \in [0, 1] \\ \partial_{t}\rho_{2} + \partial_{x} \left(\rho_{2} \left(1 - \frac{\rho_{2}}{\rho_{2,max}}\right)\right) = 0, & x \in [1, 2] \\ \rho_{1}(t, 0) = \rho_{l}, & \rho_{1}(t, 1) = \rho_{2}(t, 1) = g(\rho_{1}(t, 1), \rho_{2}(t, 0)), & \rho_{2}(t, 2) = \rho_{r} \end{cases}$$

• On couple donc la propagation du trafic sur deux routes avec des densités maximales $ho_{i,max}$.



- 20 modes. À gauche: on apprend sur des tranches de 50 pas de temps. À droite: on apprend sur des tranches de 200 pas de temps.
- On observe un léger gain de précision avec 200 pas de temps dans l'apprentissage.

E. Franck

Contexte physique et mathématique

Modèles réduits pour l'équation de Vlasov

Génération des données Réseaux de neurones

Résultats

Modèle fluide Difficultés : stabilité et coût calcul

Fermeture et bases réduites

Bases réduites pour les équations hyperboliques Fermeture et contrôle optimal

Stabilisation de schéma I BM

Schéma LBM Stabilisation et contrôle optimal

Conclusion

- Conclusion: apprendre la fermeture sur plusieurs pas de temps permet d'éviter les accumulations dramatiques d'erreur, et même de corriger des défauts dans la base.
- Dans ce cas, on peut même apprendre sur des centaines de pas de temps.
- Défaut : coût en mémoire. Pour des gros problèmes, on doit n'apprendre que sur peu de pas de temps.
 - Apprentissage par renforcement,
 - Neural ODE (gradient sur les pas de temps calculé par contrôle optimal).

F. Franck

Contexte physique et mathématique

Modèles réduits pour l'équation de Vlasov

Génération des données Réseaux de neurones

Résultats

Modèle fluide

Difficultés : stabilité et coût calcul

Fermeture et bases réduites

Bases réduites pour les équations hyperboliques Fermeture et contrôle optimal

Stabilisation de

Schéma LBM

Stabilisation et contrôle ontimal

Sommaire

- Contexte physique et mathématique
- 2 Modèles réduits pour l'équation de Vlasov

Génération des données

Réseaux de neurones

Résultats

Modèle fluide

Difficultés : stabilité et coût calcu

3 Fermeture et bases réduites

Bases réduites pour les équations hyperboliques

4 Stabilisation de schéma LBM

Schéma LBM

Stabilisation et contrôle optimal

Sommaire

E. Franck

Contexte physique et mathématique

Modèles réduits pour l'équation de Vlasov

Génération des données Réseaux de neurones

Résultats

Modèle fluide Difficultés : stabilité et coût calcul

Fermeture et bases réduites

Bases réduites pour les équations hyperboliques Fermeture et contrôle optimal

Stabilisation de schéma LBM

Schéma LBM

Stabilisation et contrôle ontimal

- 1 Contexte physique et mathématique
- 2 Modèles réduits pour l'équation de Vlasov

Génération des données

Réseaux de neurones

Résultats

Modèle fluide

Difficultés : stabilité et coût calcu

Sermeture et bases réduites

Bases réduites pour les équations hyperboliques Fermeture et contrôle optimal

4 Stabilisation de schéma LBM Schéma IBM

Stabilisation et contrôle optimal

E. Franck Contexte physique

et mathématique Modèles réduits pour l'équation de

Vlasov Génération des données

Réseaux de neurones

Résultats

Modèle fluide Difficultés : stabilité et

coût calcul

Fermeture et bases

réduites Bases réduites nour les

Bases réduites pour les équations hyperboliques Fermeture et contrôle optimal

Stabilisation de schéma I BM

Schéma LBM

Stabilisation et contrôle optimal

Schéma LBM

- On considère des équations hyperboliques.
- On introduit le cas scalaire, mais tout ce qui suit fonctionne de la même façon pour le cas vectoriel.

$$\partial \rho + \nabla \cdot (\mathbf{f}(\rho)) = 0.$$

- Schéma LBM [D2Q4] :
 - 1 On introduit 4 variables $f_1(t, x), \ldots, f_4(t, x)$
 - 2 On introduit 4 vitesses :

$$\left[\boldsymbol{v}_1 = \begin{pmatrix} \boldsymbol{\lambda} \\ \boldsymbol{0} \end{pmatrix}, \boldsymbol{v}_2 = \begin{pmatrix} -\boldsymbol{\lambda} \\ \boldsymbol{0} \end{pmatrix}, \boldsymbol{v}_3 = \begin{pmatrix} \boldsymbol{0} \\ -\boldsymbol{\lambda} \end{pmatrix}, \boldsymbol{v}_4 = \begin{pmatrix} \boldsymbol{0} \\ \boldsymbol{\lambda} \end{pmatrix} \right]$$

3 On résout à chaque pas de temps :

$$f_i^*(t_n, \boldsymbol{x}_j) = f_i(t_n, \boldsymbol{x}_j - \Delta t \boldsymbol{v}_i), \quad \forall 1 \le i \le 4$$

4 On applique une étape de collision

$$f_i(t_{n+1}, \boldsymbol{x}_j) = f_i^*(\boldsymbol{x}_j) + W(\rho(\boldsymbol{x}_j))(f_i^{eq}(\rho(\boldsymbol{x}_j)) - f_i^*(\boldsymbol{x}_j))$$

avec $\rho(x_j) = \sum_{i=1}^4 f_i^*(x_j)$, M une matrice de passage et

$$W(\rho) = M^{-1} \begin{pmatrix} 1 & 0 & 0 & 0 \\ 0 & \Omega(\rho) & 0 \\ 0 & 0 & 0 & 1 \end{pmatrix} M.$$

E. Franck

Contexte physique

et mathématique Modèles réduits pour l'équation de Vlasoy

Génération des données Réseaux de neurones

Résultats Modèle fluide

Difficultés : stabilité et coût calcul

réduites

Bases réduites pour les
équations hyperboliques
Fermeture et contrôle
ontimal

Stabilisation de schéma I BM

Schéma I BM

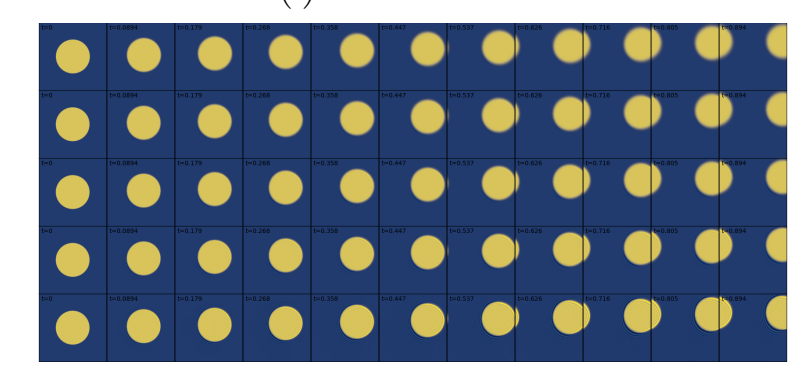
Stabilisation et contrôle optimal

Schéma LBM

· Erreur des schémas LBM :

$$\partial \rho + \nabla \cdot (\boldsymbol{f}(\rho)) = \Delta t \nabla \cdot \left(\underbrace{\left(\Omega^{-1}(\rho) - \frac{1}{2}I\right) \left(\frac{\lambda^{2}}{2}I - \boldsymbol{f}'(\rho) \otimes \boldsymbol{f}'(\rho)\right)}_{D(\rho)} \nabla \rho \right) + O(\Delta t^{2})$$

- $\Omega = I_d$ donne le schéma d'ordre 1 classique. $\Omega = 2I_d$ donne le schéma d'ordre 2.
- Stabilité approchée : $D(\rho) > 0$
- Le schéma d'ordre 2 oscille notamment autour des discontinuités, ce qui génère des problèmes de stabilité.
- Exemple ci-dessous avec ${m f}(
 ho)=egin{pmatrix} a \\ b \end{pmatrix}
 ho$:



F. Franck

Contexte physique

et mathématique Modèles réduits pour l'équation de Vlasov

Génération des données

Réseaux de neurones

Résultats Modèle fluide

Difficultée : etabilité et coût calcul

Fermeture et bases réduites

Bases réduites nour les équations hyperboliques Fermeture et contrôle ontimal

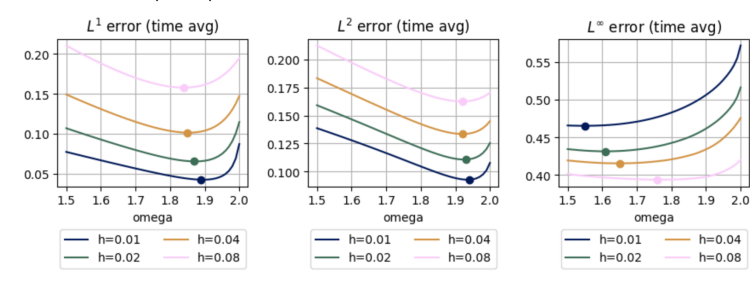
Stabilisation de schéma I BM

Schéma I RM

Stabilisation et contrôle ontimal

Schéma I BM

Le choix de Ω n'est pas simple.



- Erreur en fonction de $\Omega = \omega I_d$.
- Il v a compétition :
 - entre l'erreur de diffusion et l'erreur de dispersion $O(\Delta t^2 \partial_{xxx} \dots)$,
 - entre l'erreur de consistance et la stabilité
- But : apprendre le meilleur Ω en apprenant sur des simulations en temps.
- Méthode: même algorithme d'apprentissage que précédemment (apprentissage sur plusieurs pas de temps).
- Remarque: c'est un travail en cours, et les résultats sont très préliminaires.
- Plusieurs réseaux :

$$\Omega(\rho(x_i)) = f_\theta(\rho(x_i))I_d, \text{ ou } f_\theta(\rho(x_{i-1}),\rho(x_i),\rho(x_{i+1})I_d, \text{ ou } = A_\theta(\rho(x_i))$$

E. Franck

Contexte physique et mathématique

Modèles réduits pour l'équation de Vlasov

Génération des données Réseaux de neurones

Résultats

Modèle fluide

Difficultés : stabilité et coût calcul

Fermeture et bases réduites

Bases réduites pour les équations hyperboliques Fermeture et contrôle optimal

Stabilisation de schéma I BM

Schéma LBM

Stabilisation et contrôle ontimal

Sommaire

- Contexte physique et mathématique
- 2 Modèles réduits pour l'équation de Vlasov

Génération des données

Réseaux de neurones

Résultats

Modèle fluide

Difficultés : stabilité et coût calcu

3 Fermeture et bases réduites

Bases réduites pour les équations hyperboliques

4 Stabilisation de schéma LBM

Schéma LBM

Stabilisation et contrôle optimal

E. Franck

Contexte physique et mathématique

Modèles réduits pour l'équation de Vlasov

Génération des données Réseaux de neurones Résultats

Modèle fluide Difficultés : stabilité et coût calcul

Fermeture et bases réduites

Bases réduites pour les équations hyperboliques Fermeture et contrôle ontimal

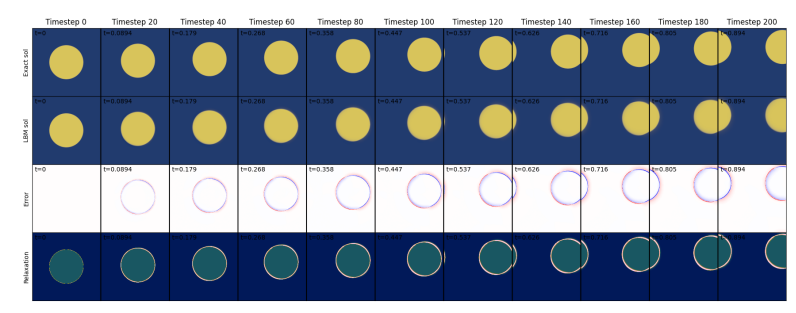
Stabilisation de schéma LBM

Schéma LBM

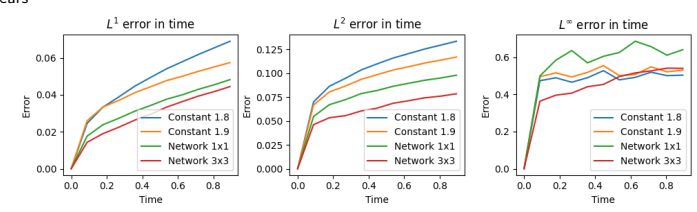
Stabilisation et contrôle

Équation de transport I

- Équation de transport. On apprend sur 1 ou 3 conditions initiales constantes par morceaux.
- Stencil en espace du réseau 1×1 et 3×3 .



- Réseau 1 × 1
- Erreurs



E. Franck

Contexte physique et mathématique

Modèles réduits pour l'équation de Vlasov

Génération des données Réseaux de neurones Résultats

Modèle fluide

coût calcul

Fermeture et bases réduites

Bases réduites pour les équations hyperboliques Fermeture et contrôle ontimal

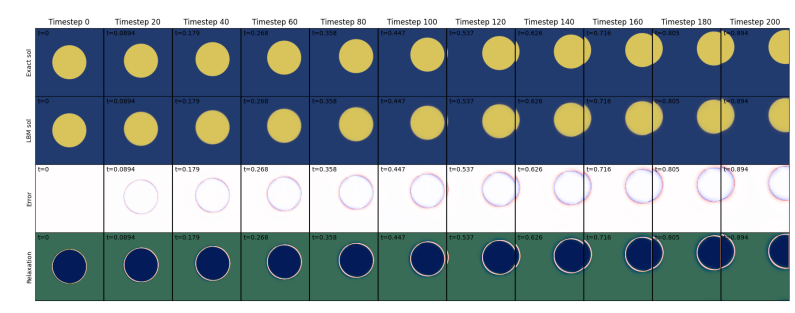
Stabilisation de

schéma LBM

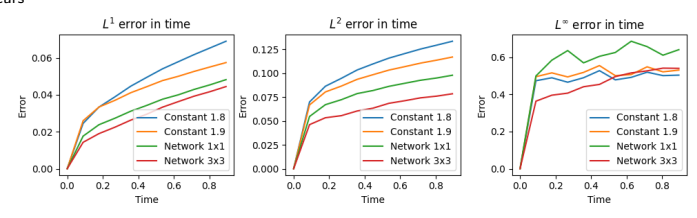
Stabilisation et contrôle

Équation de transport I

- Équation de transport. On apprend sur 1 ou 3 conditions initiales constantes par morceaux.
- Stencil en espace du réseau 1 x 1 et 3 x 3.



- Réseau 3 × 3
- Erreurs



E. Franck

Contexte physique et mathématique

Modèles réduits pour l'équation de Vlasov

Génération des données Réseaux de neurones

Résultats Modèle fluide

Difficultés : stabilité et

Fermeture et bases réduites

Bases réduites pour les équations hyperboliques Fermeture et contrôle ontimal

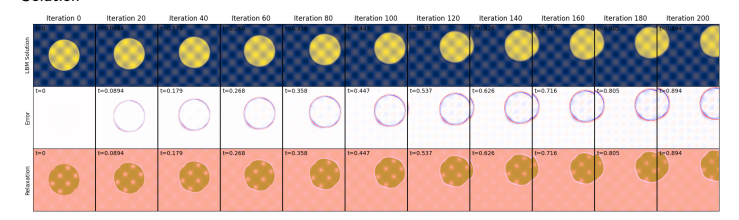
Stabilisation de schéma LBM

Schéma LBM

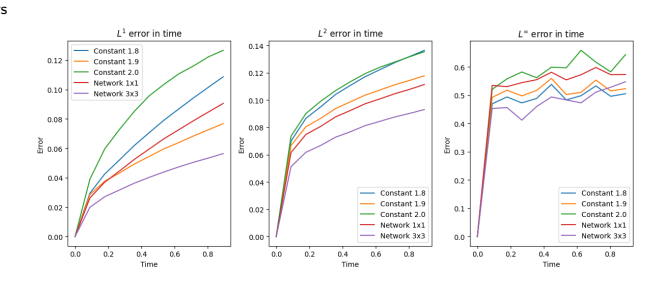
Stabilisation et contrôle

Équation de transport II

- Équation de transport. On apprend sur 1 ou 3 conditions initiales sinusoïdales par morceaux.
- Solution



Erreurs



E. Franck

Contexte physique et mathématique

Modèles réduits pour l'équation de Vlasov

Génération des données Réseaux de neurones

Résultats Modèle fluide

Difficultés : stabilité et

Fermeture et bases réduites

Bases réduites pour les équations hyperboliques Fermeture et contrôle ontimal

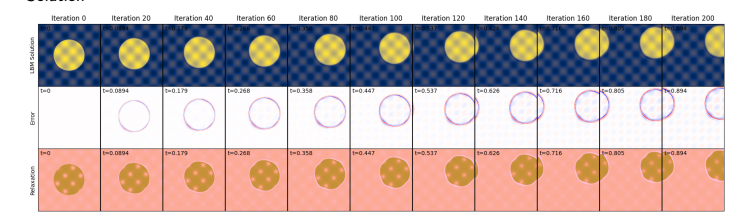
Stabilisation de schéma I BM

Schéma I BM

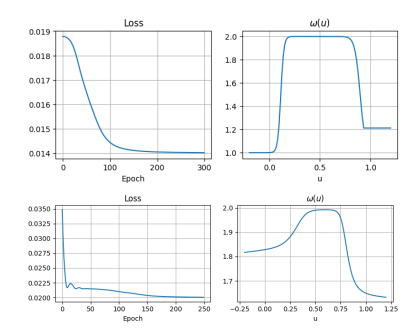
Stabilisation et contrôle ontimal

Équation de transport II

- Équation de transport. On apprend sur 1 ou 3 conditions initiales sinusoïdales par morceaux.
- Solution



Coefficients Ω(ρ). Gauche: cas constant. Droit: cas variable.



E. Franck

Contexte physique et mathématique

Modèles réduits pour l'équation de Vlasov

Génération des données

Réseaux de neurones

Résultats Modèle fluide

Difficultés : stabilité et

Fermeture et bases réduites

Bases réduites pour les équations hyperboliques Fermeture et contrôle ontimal

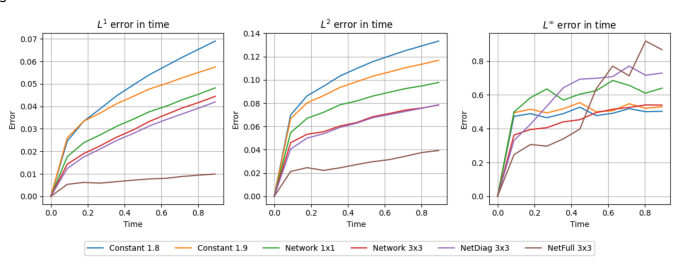
Stabilisation de schéma I BM

Schéma I BM

Stabilisation et contrôle

Équation de transport III

- Le réseaux est une matrice $\Omega_{\theta}(\rho)$
- Permet de proposer des viscosity anisotrope en espace.
- Erreurs



- ullet Pas d'apprentissage en norme L^{infty} ni de pénalisation des oscillations.
- ullet On peut l'ajouter. Par exemple la semi norme $W^{2,1}$ marche bien.

E. Franck

Contexte physique et mathématique

Modèles réduits pour l'équation de Vlasov

Génération des données

Réseaux de neurones Résultats

Modèle fluide

Difficultés : stabilité et coût calcul

Fermeture et bases réduites

Bases réduites pour les équations hyperboliques Fermeture et contrôle optimal

Stabilisation de schéma I BM

Schéma LBM

Stabilisation et contrôle optimal

Équations d'Euler

On s'intéresse aux équations d'Euler

$$\begin{cases} \partial_t \rho + \nabla \cdot (\rho \boldsymbol{u}) = 0, \\ \partial_t (\rho \boldsymbol{u}) + \nabla \cdot (\rho \boldsymbol{u} \otimes \boldsymbol{u} + p I_d) = 0, \\ \partial_t E + \nabla \cdot (E \boldsymbol{u} + p \boldsymbol{u}) = 0. \end{cases}$$

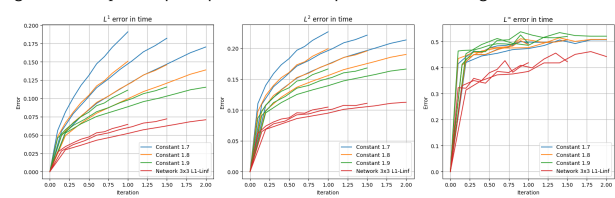
• Si p = cst et u = cst, alors on a

$$\partial_t \rho + \boldsymbol{u} \cdot \nabla \rho = 0$$

- Pour la stabilité $\lambda > |{m u}| + \sqrt{\frac{\gamma p}{
 ho}}.$
- Erreur de diffusion standard sur la densité :

$$E = \Delta t \nabla \cdot (\lambda^2 - |\mathbf{u}|^2) \nabla \rho + O(\Delta t)$$

• L'erreur augmente avec p sans que le problème de transport de densité change.



• Trois pressions : p = 0, p = 0.012, p = 0.5.

E. Franck

Contexte physique et mathématique

Modèles réduits pour l'équation de Vlasov

Génération des données Réseaux de neurones

Résultats

Modèle fluide Difficultés : stabilité et coût calcul

Fermeture et bases réduites

Bases réduites pour les équations hyperboliques Fermeture et contrôle optimal

Stabilisation de schéma LBM

Schéma LBM

Stabilisation et contrôle ontimal

Conclusion

- Conclusion : cette technique fonctionne bien sur des cas limités.
- Prochaine étape : apprendre sur plusieurs données initiales.
- Le plus intéressant est d'utiliser des matrices Ω non diagonales pour les systèmes, afin d'obtenir de meilleures viscosités.
- Des problèmes de stabilité compromettent rapidement l'entraînement. Questions :
 - comment détecter les possibles explosions et apprendre?
 - comment caractériser/explorer les matrices Ω qui assurent la stabilité? (la dessus on galère).

F. Franck

Contexte physique et mathématique

Modèles réduits pour l'équation de Vlasov

Génération des données Réseaux de neurones

Résultats

Modèle fluide

Difficultés : stabilité et coût calcul

Fermeture et bases réduites

Bases réduites pour les équations hyperboliques Fermeture et contrôle ontimal

Stabilisation de schéma I BM

Schéma I BM

Stabilisation et contrôle optimal

Merci de votre attention

Merci de votre attention!